



AKADEMISKA  
SJUKHUSET

# Från positron till bild

Mark Lubberink

docent, 1:e sjukhusfysiker

*mark.lubberink@akademiska.se*





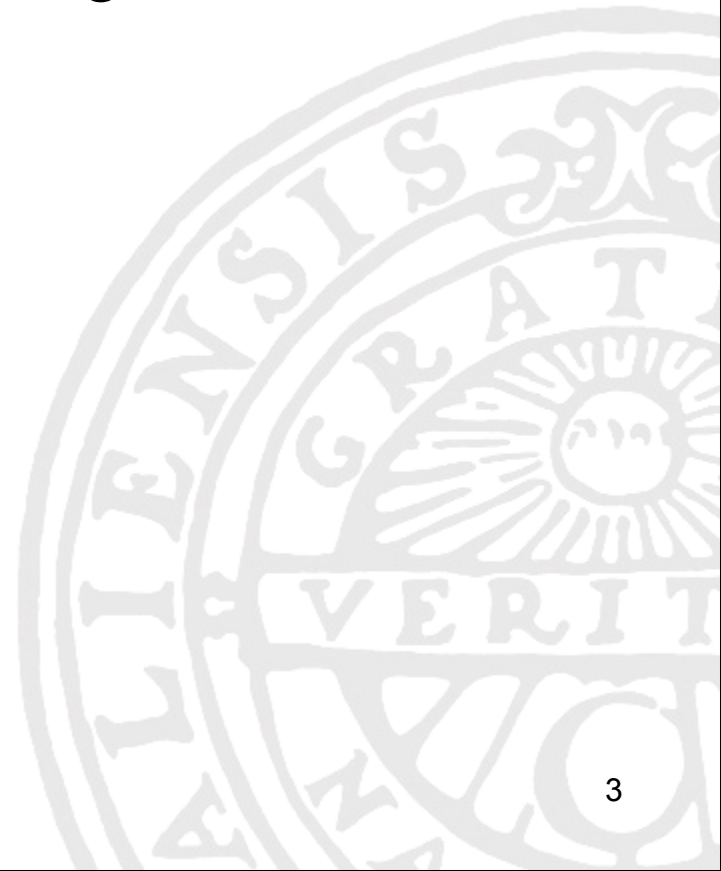
## Abstract ...

*“Ämnen som berörs är hur en cyklotron fungerar, produktion av radiofarmaka, hur detekteras och mäts radioaktiviteten i kroppen, registrering av dynamiska och statiska PET-undersökningar. En vanlig fråga – Vad är egentligen det semikvantitativa måttet som kallas SUV (standardized uptake value), hur räknar man ut SUV och vad speglar  $SUV_{max}$  och  $SUV_{mean}$ ?”*



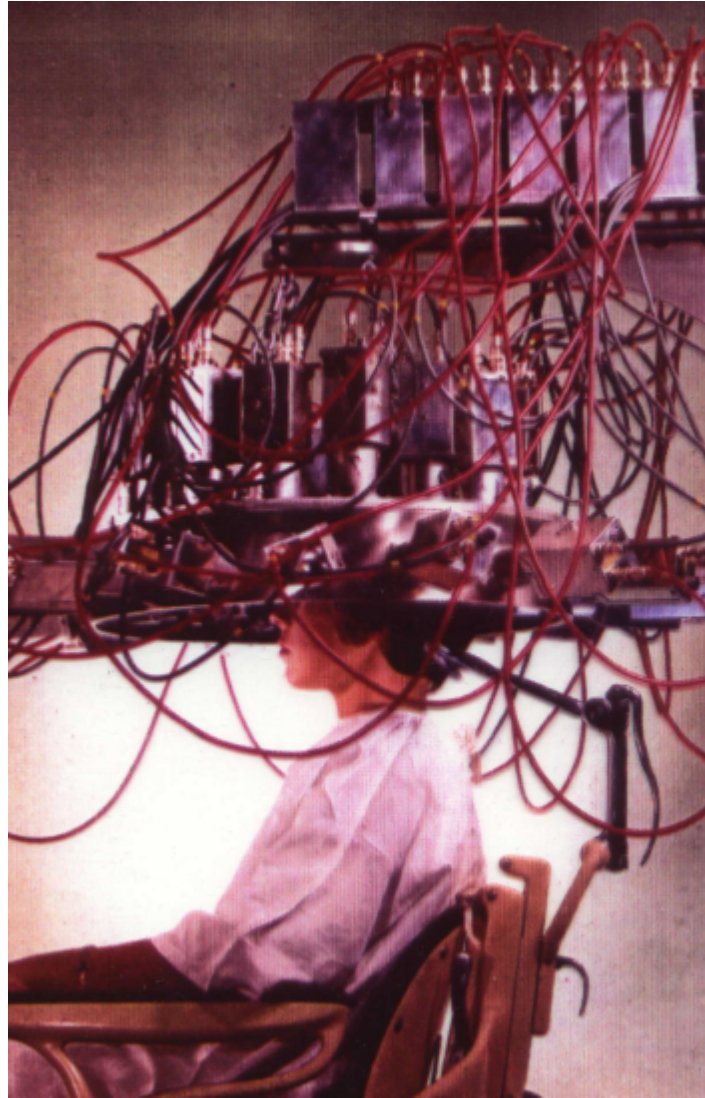
# Översikt

- Från positron till bild: hur fungerar PET?
- Tracermetod: kvantifiering
- FDG och SUV

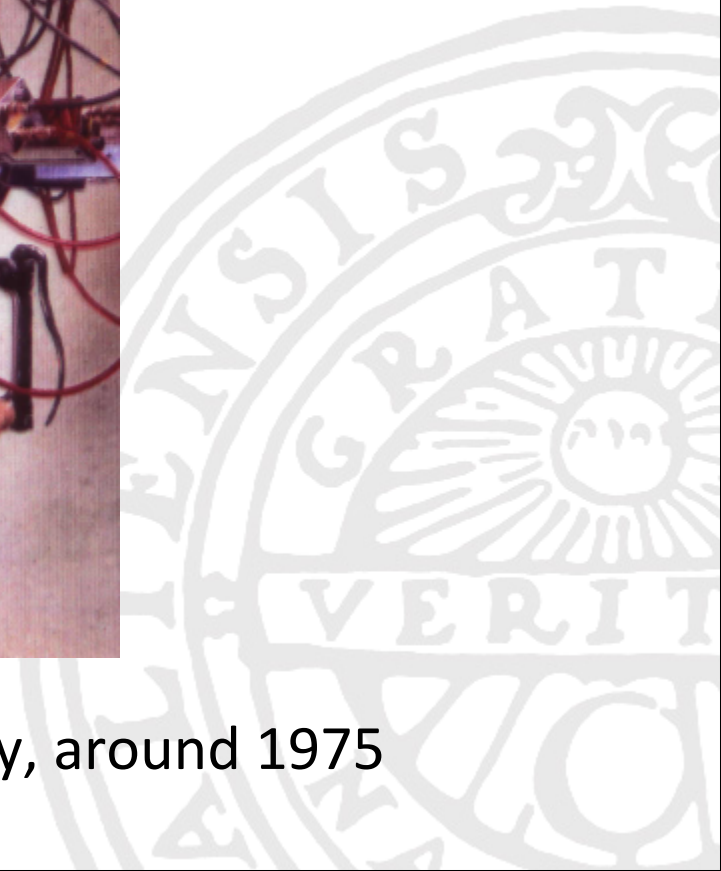




AKADEMISKA  
SJUKHUSET

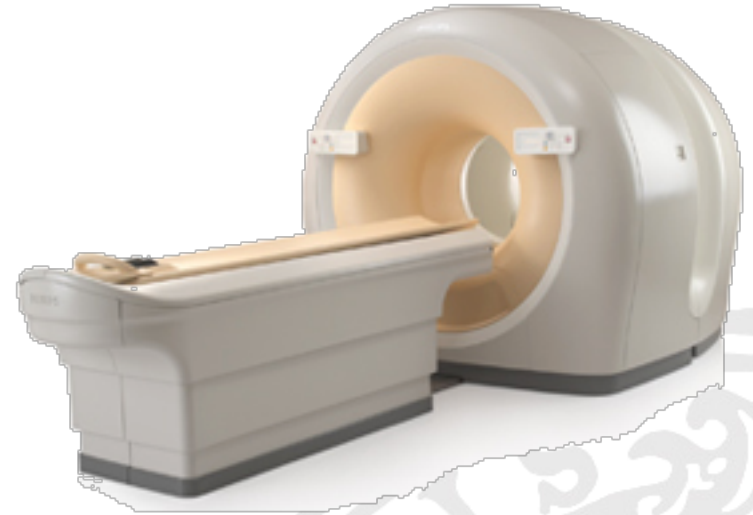
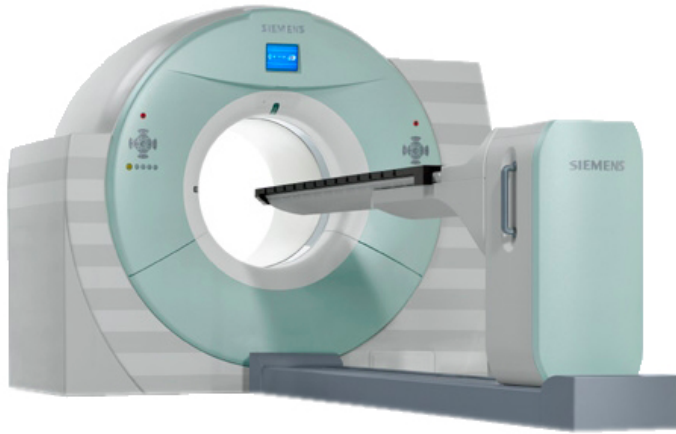


Brookhaven National Laboratory, around 1975



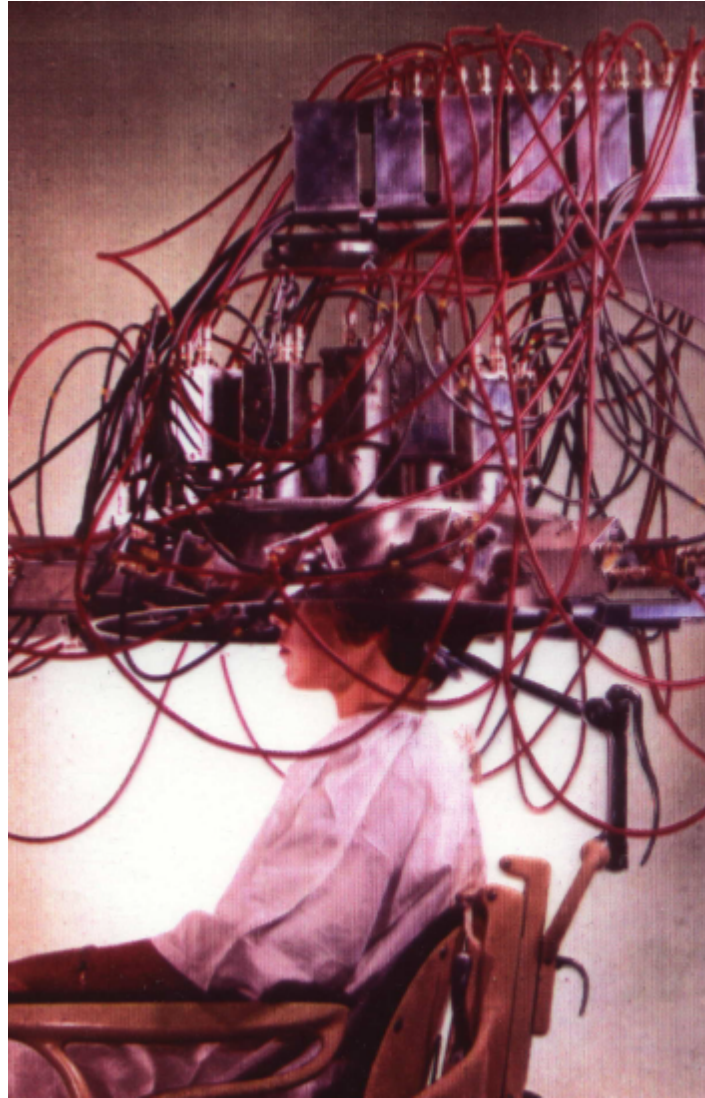


AKADEMISKA  
SJUKHUSET

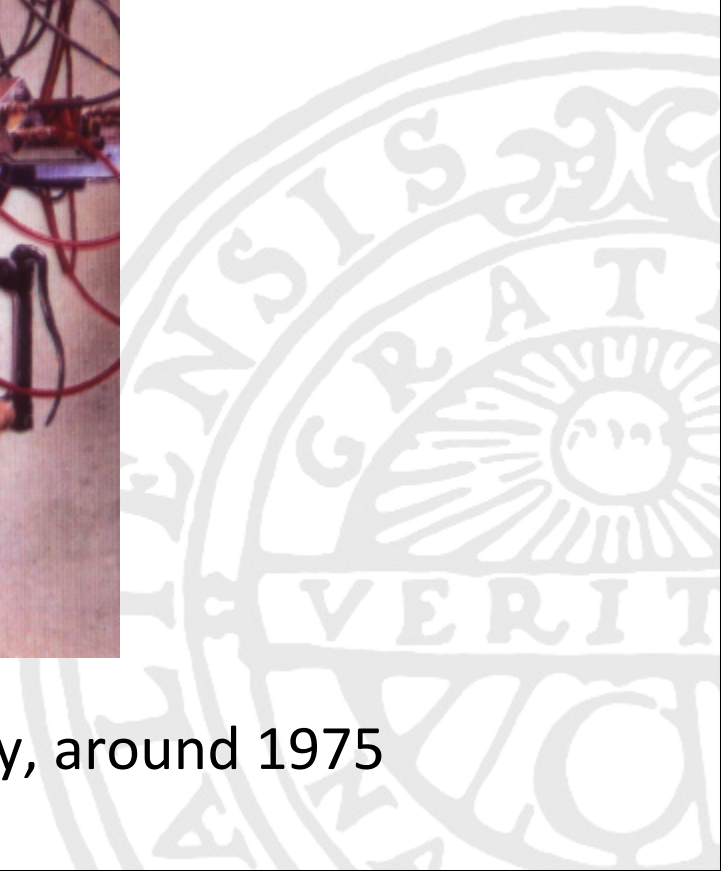




AKADEMISKA  
SJUKHUSET

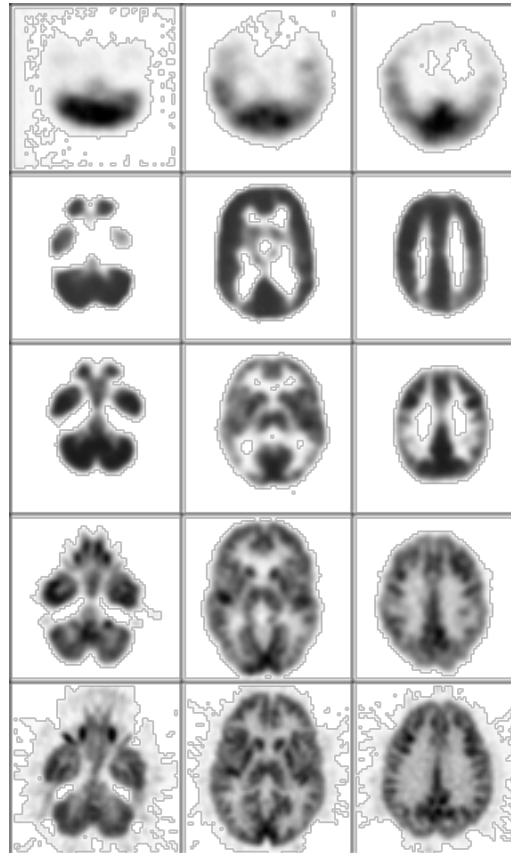


Brookhaven National Laboratory, around 1975





AKADEMISKA  
SJUKHUSET



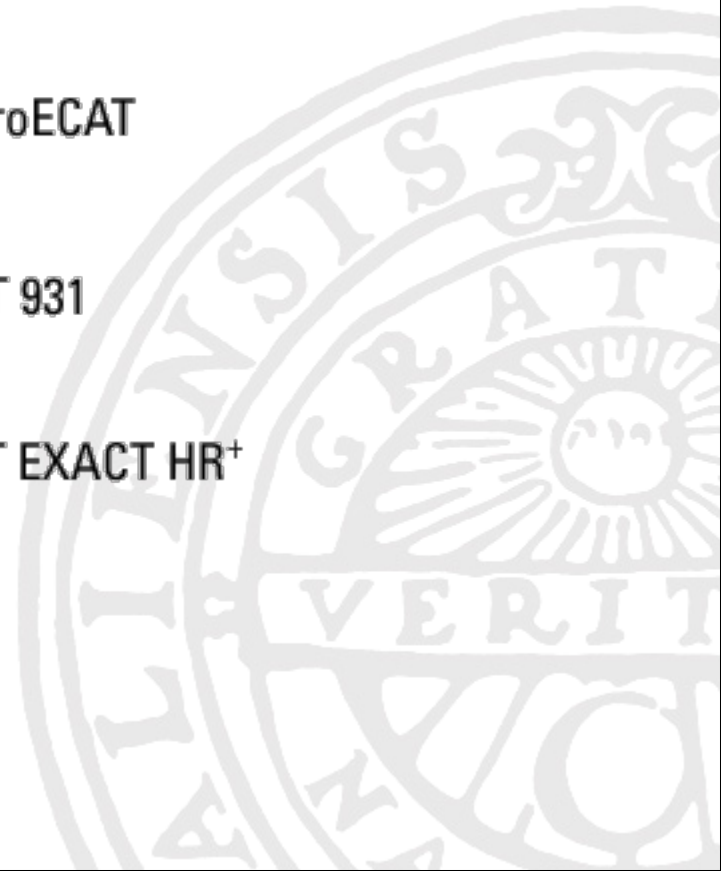
PET III  
1975

ECAT II  
1977

NeuroECAT  
1978

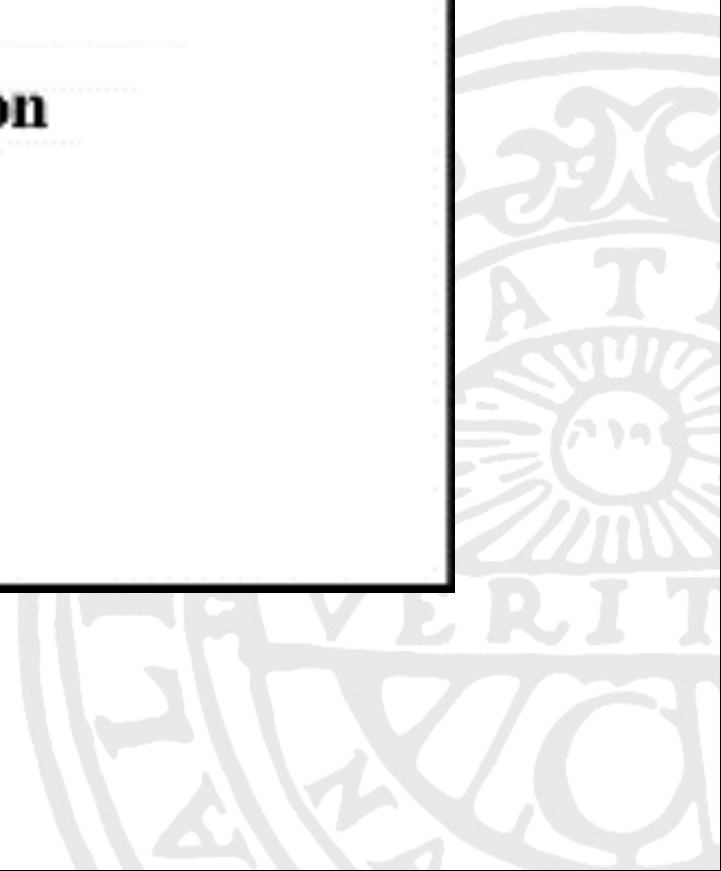
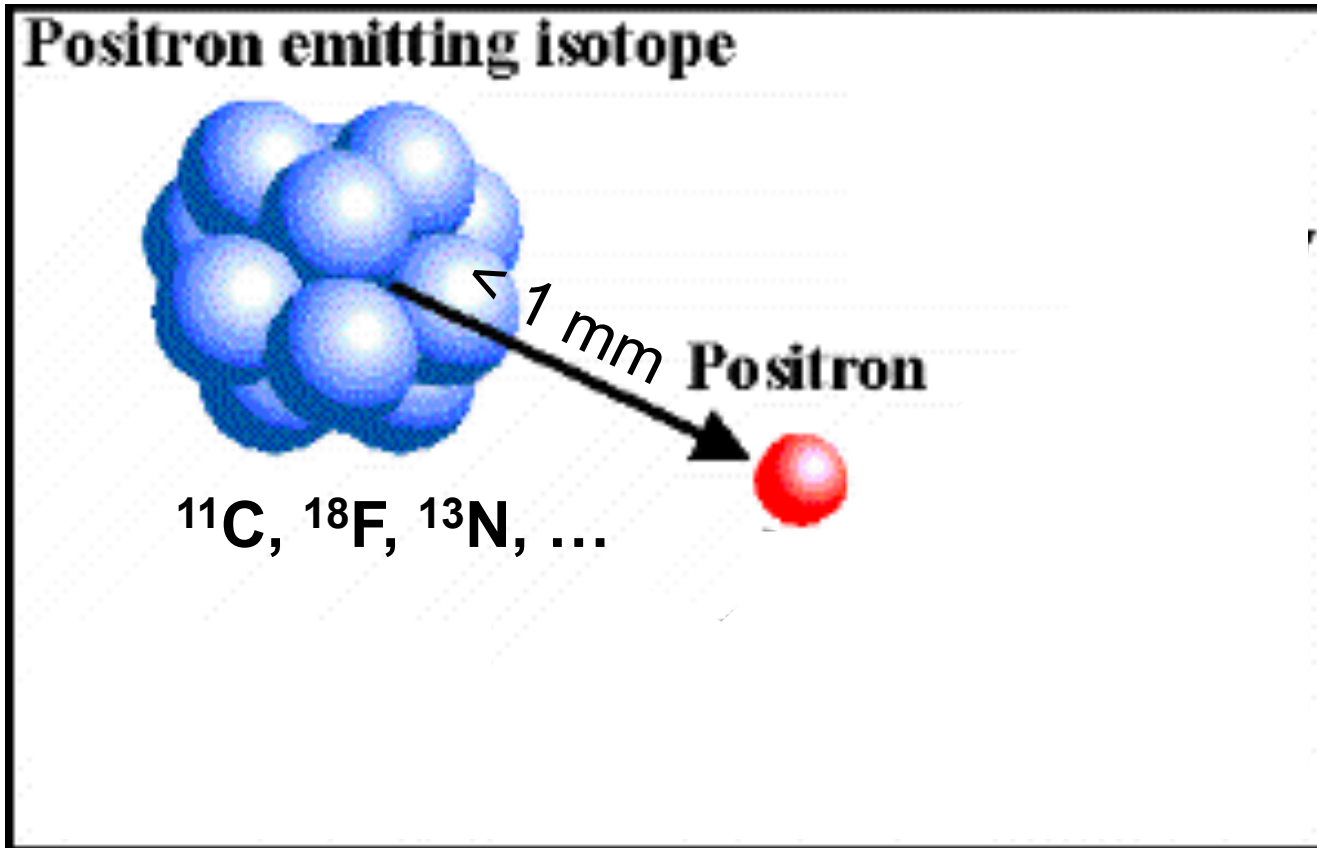
ECAT 931  
1985

ECAT EXACT HR<sup>+</sup>  
1995





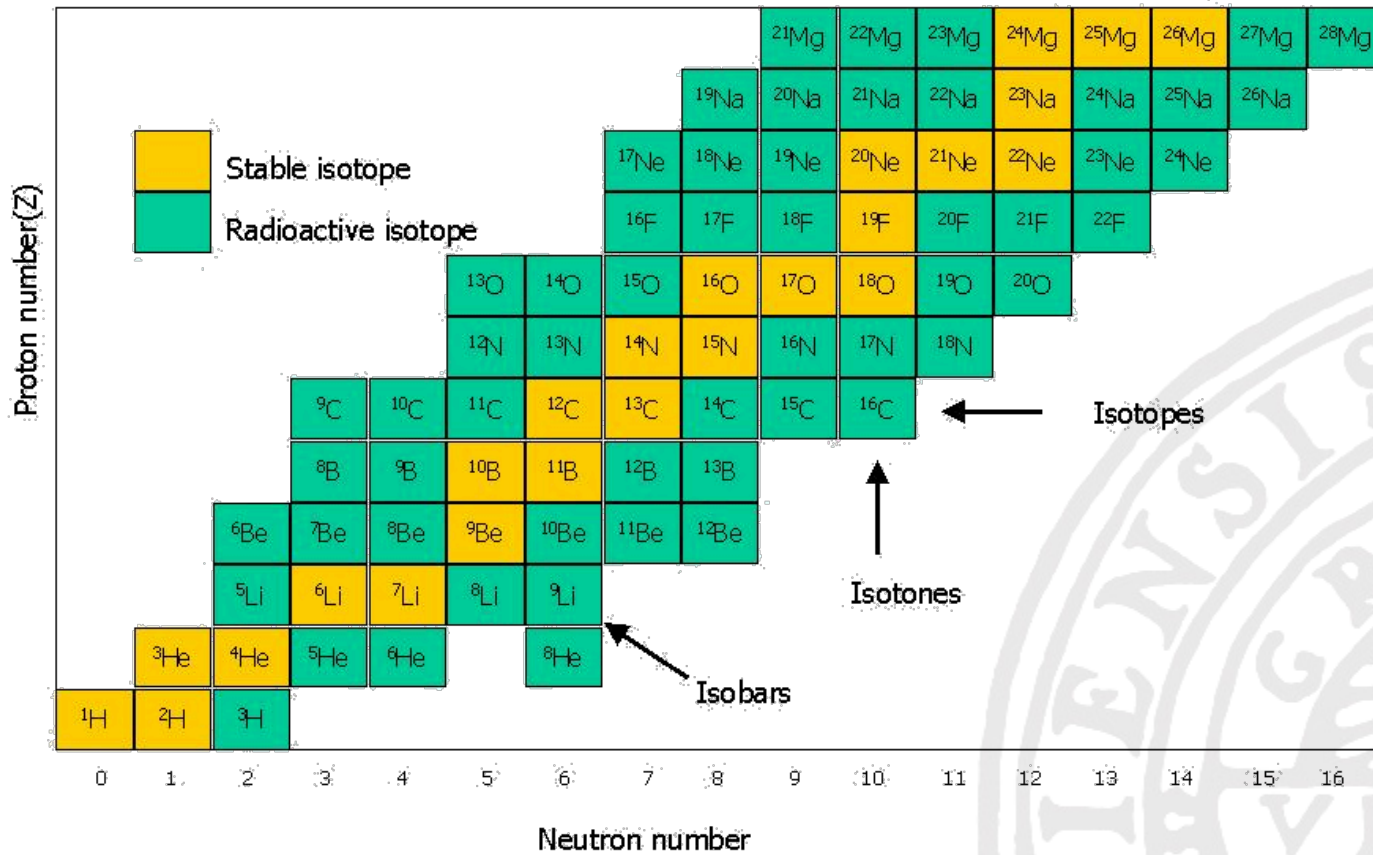
# Radioaktivt sönderfall





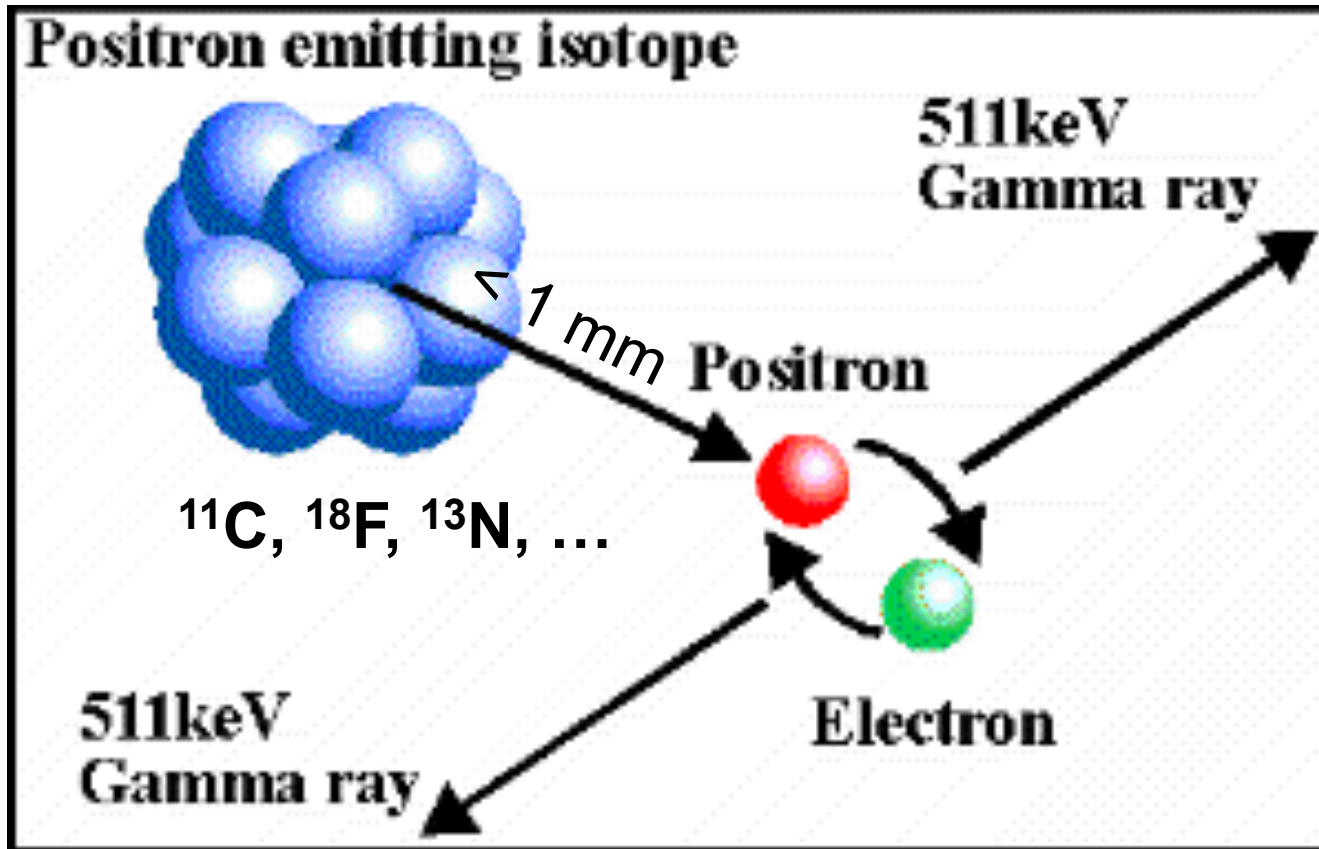


# Radioaktivt sönderfall



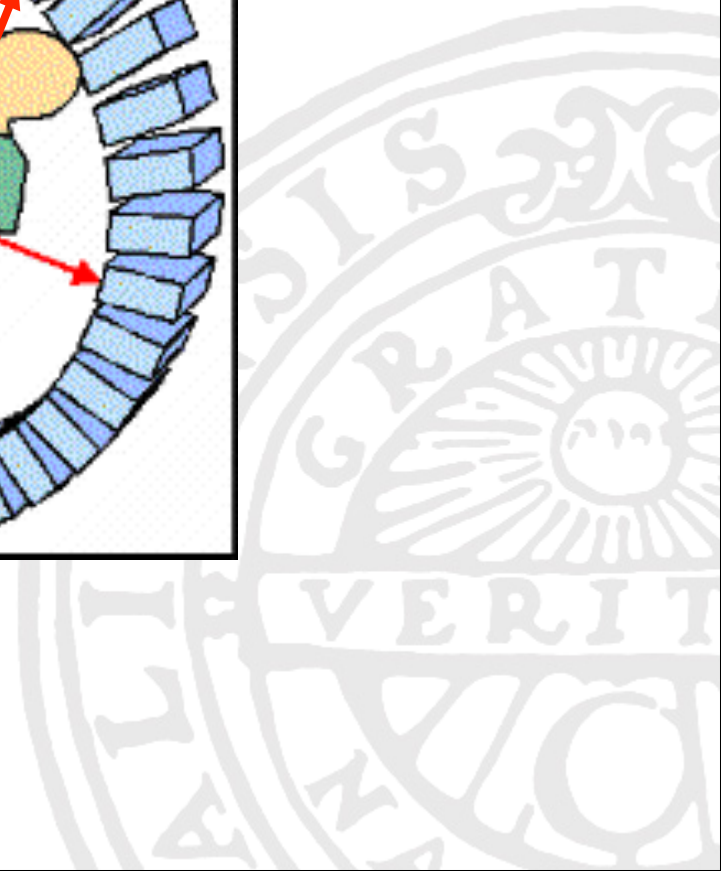
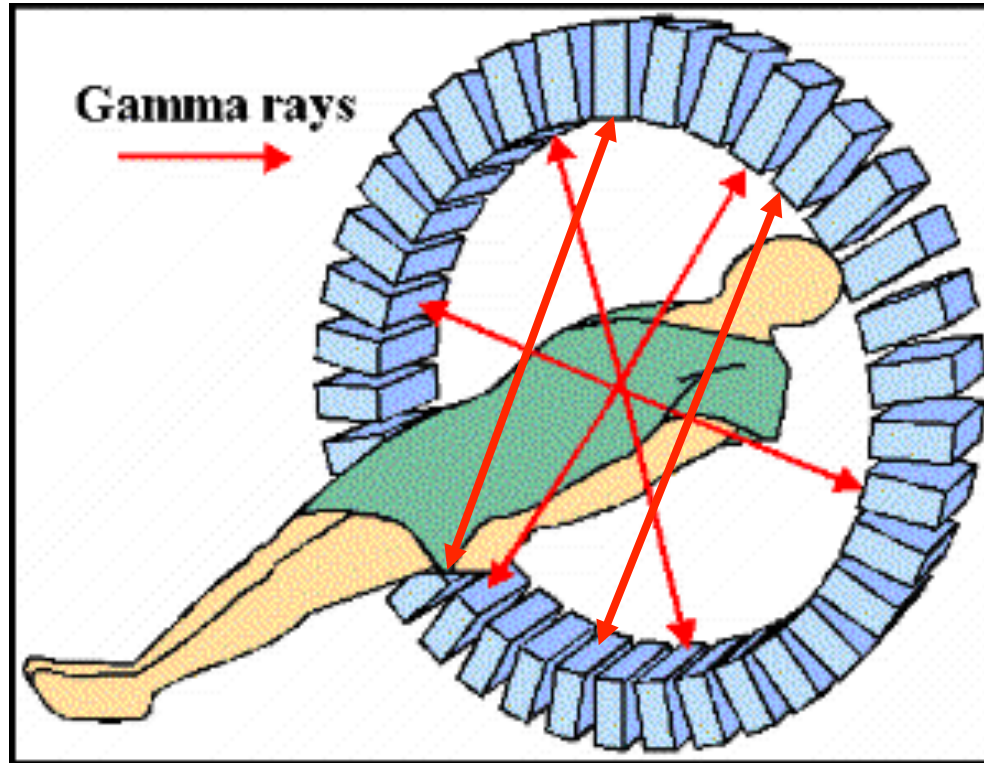


# PET



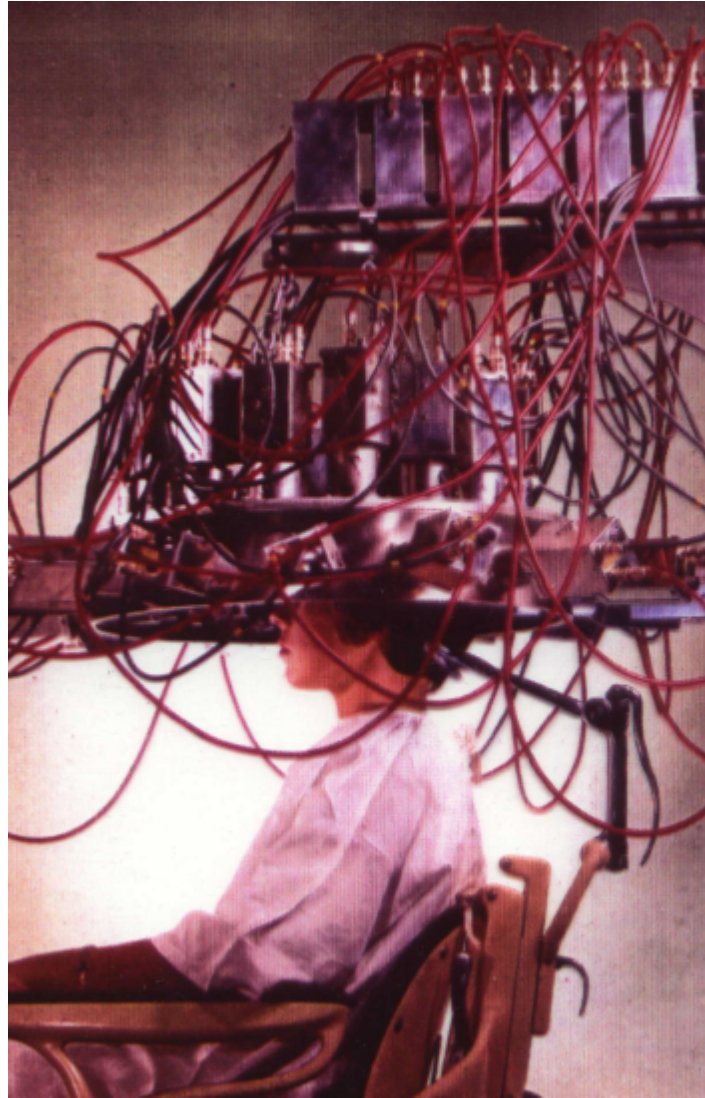


# PET

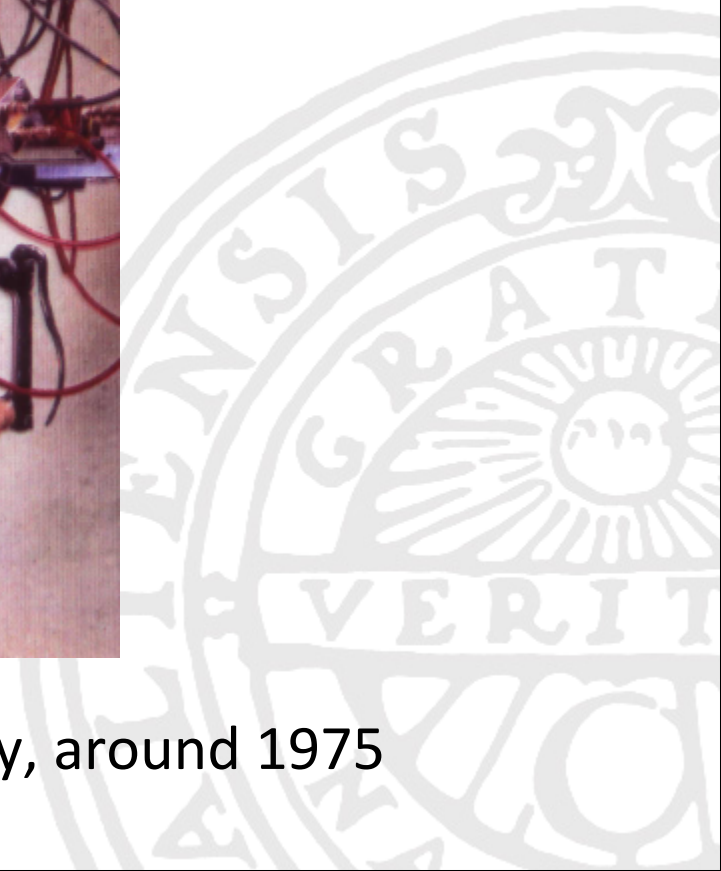




AKADEMISKA  
SJUKHUSET

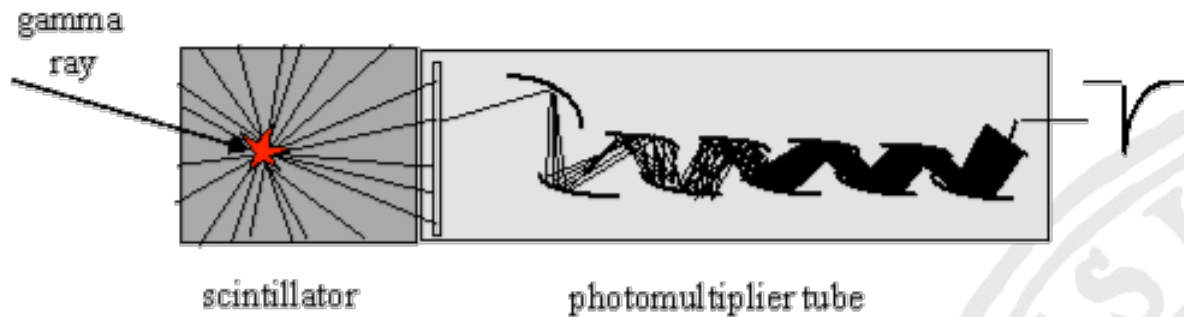


Brookhaven National Laboratory, around 1975





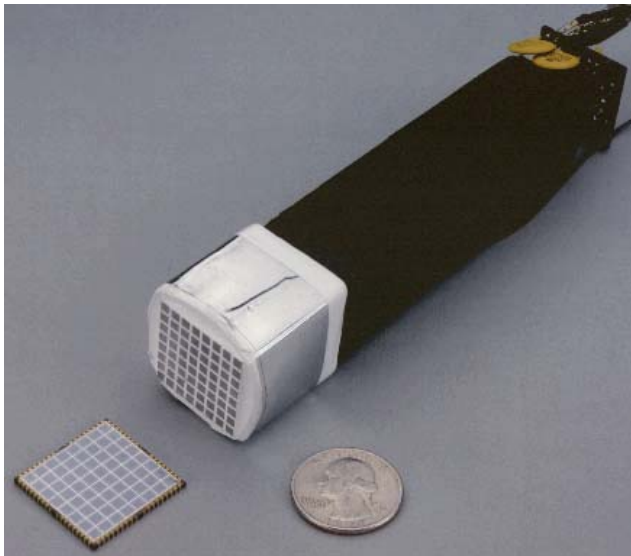
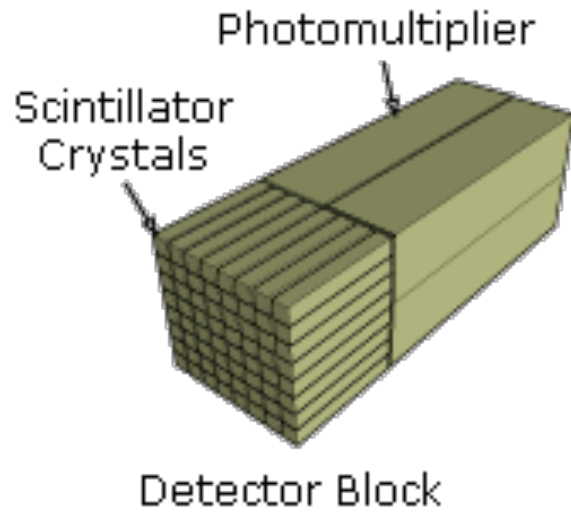
# Detektor



Tellurium-doped sodium iodide ( $\text{NaI(Tl)}$ )  
Bismuth germanate (BGO)  
Lutetium oxyorthosilicate (LSO)  
Yttrium-doped LSO (LYSO)  
Etc.

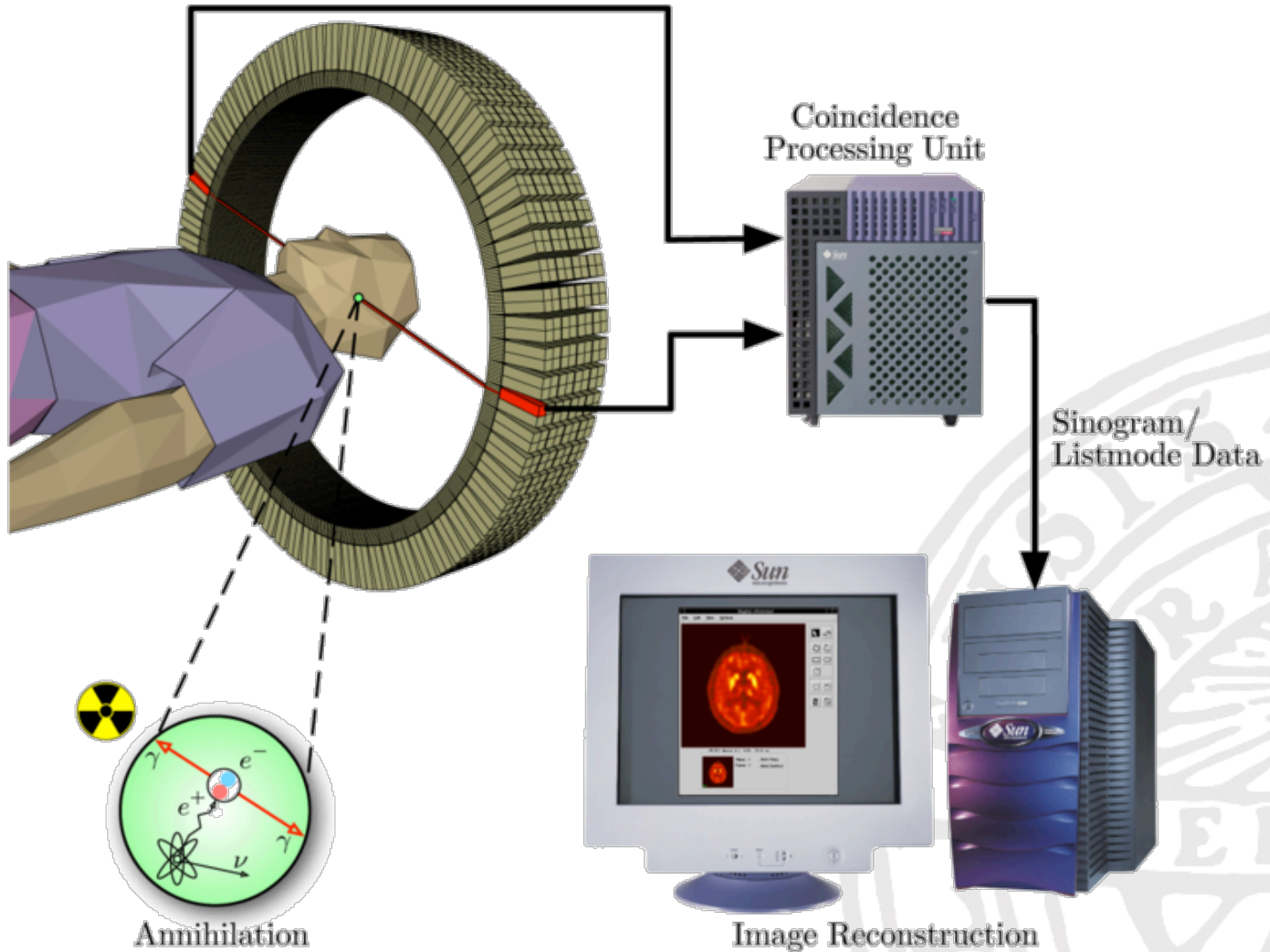


# Block detektor; flera ringar





AKADEMISKA  
SJUKHUSET



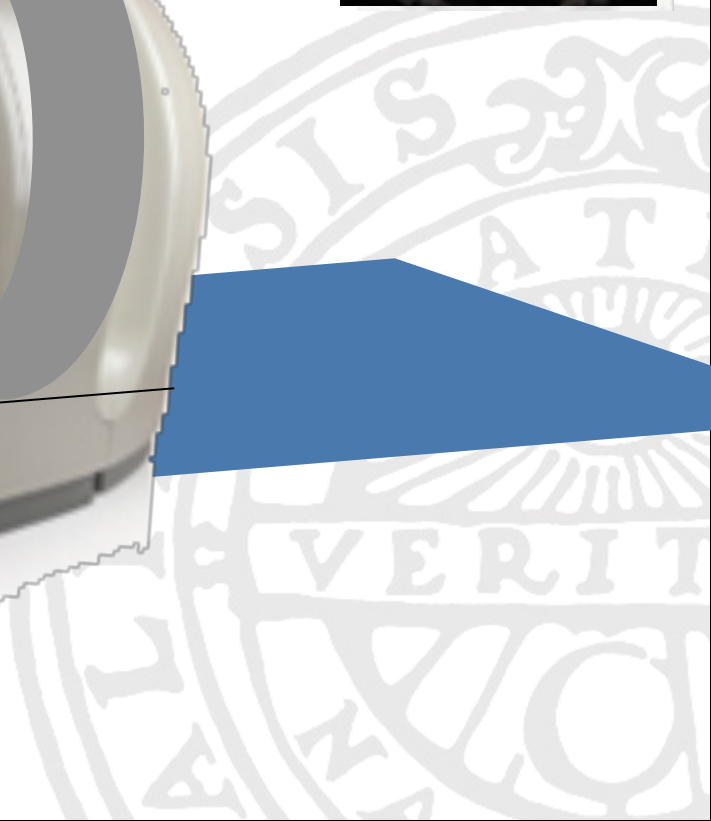
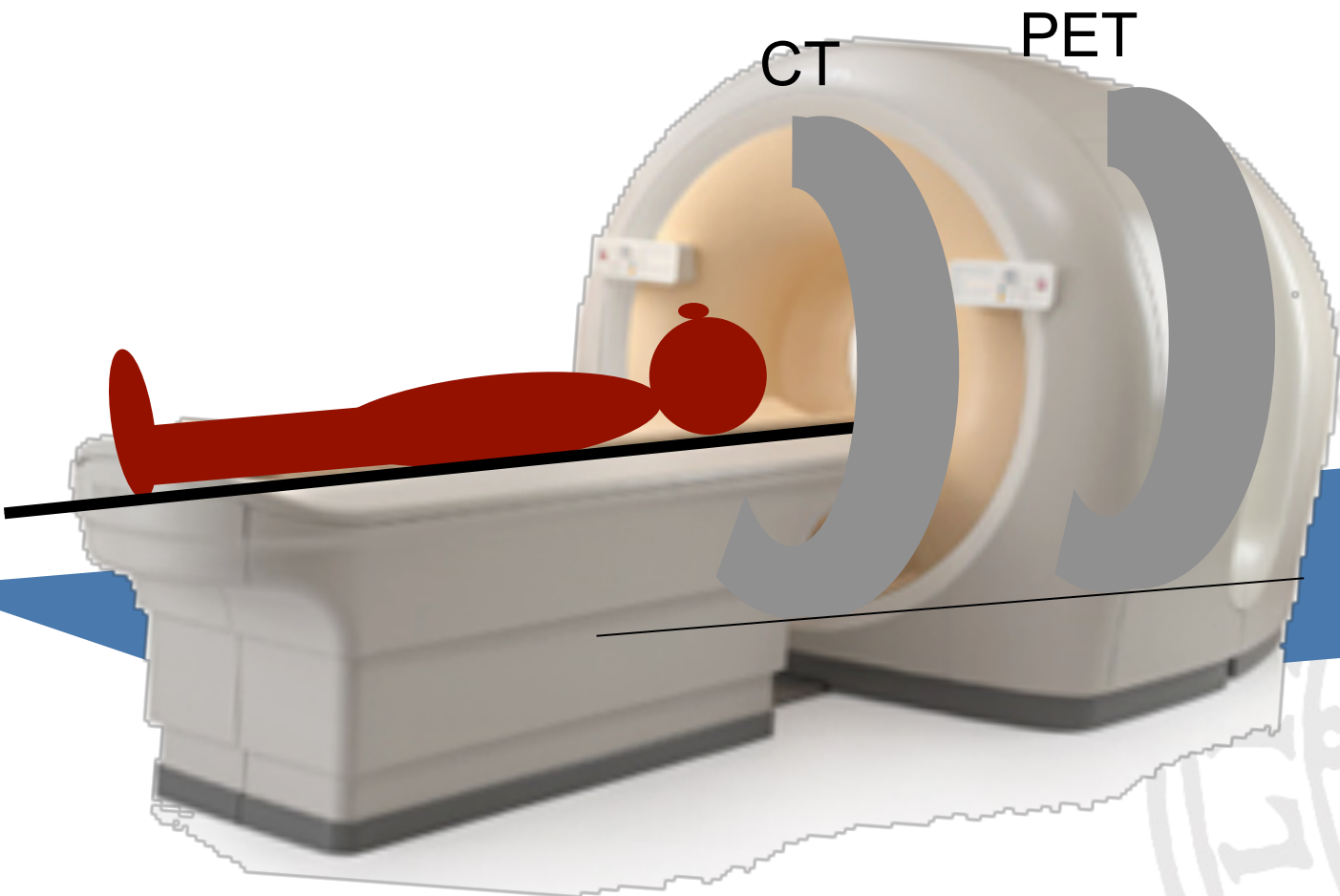
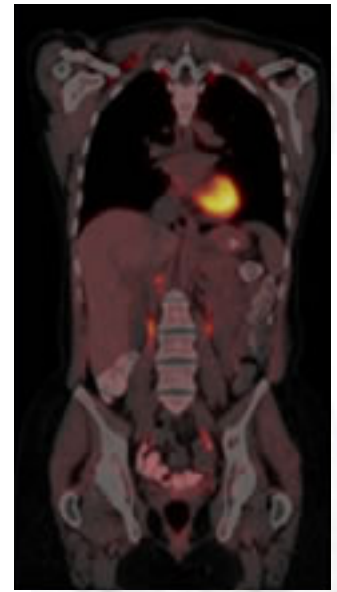
Annihilation

Image Reconstruction



AKADEMISKA  
SJUKHUSET

# PET/CT bildtagning

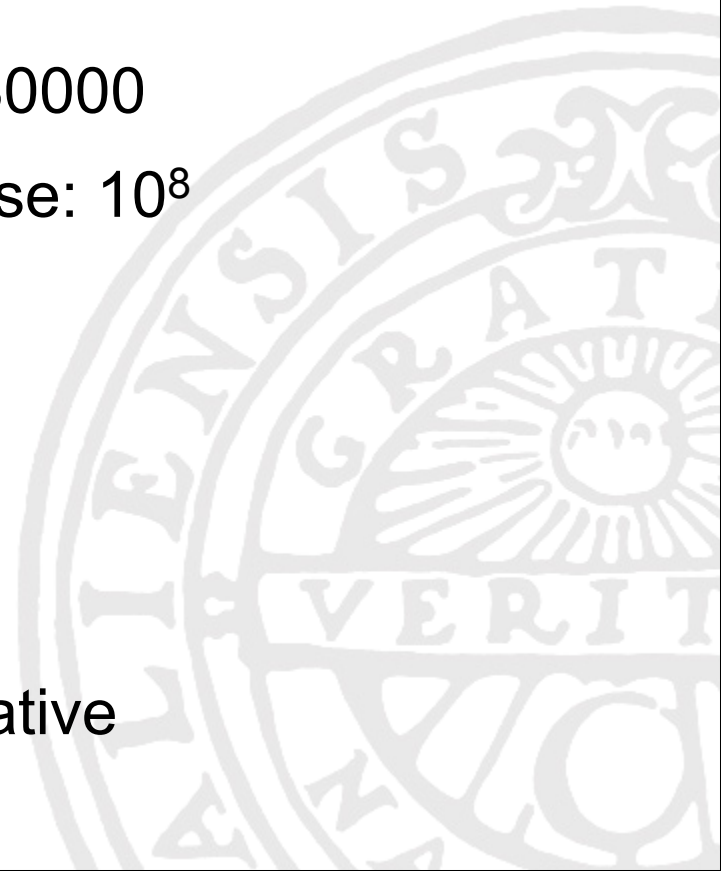






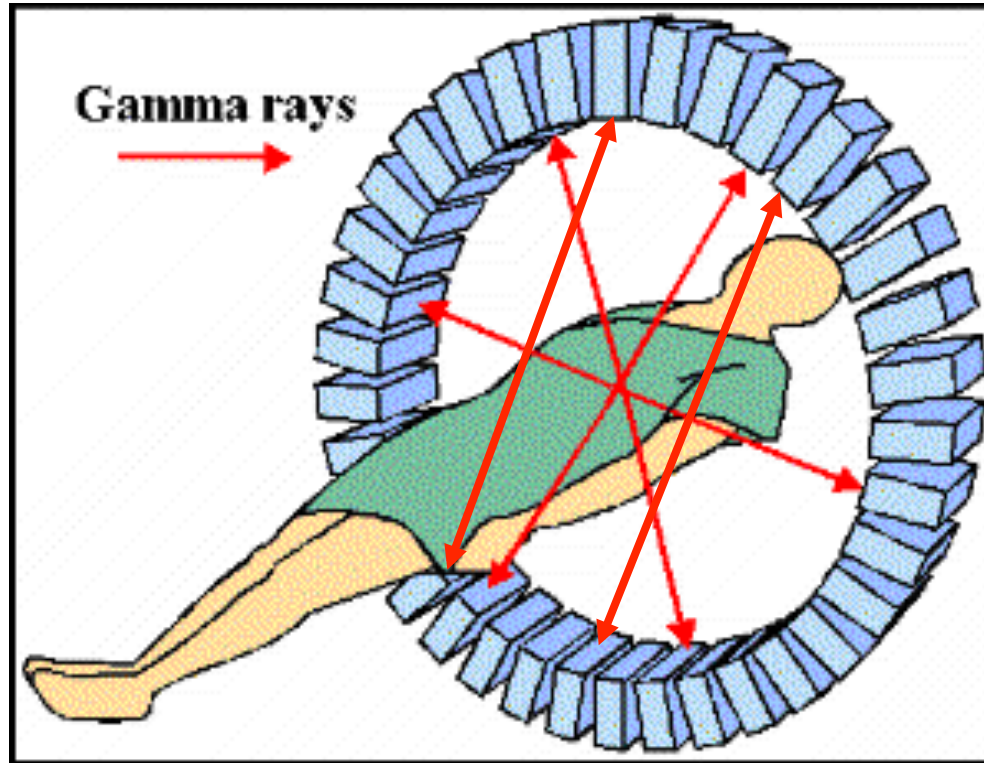
# PET characteristics

- Field of view
  - Axial: 15-25 cm
  - Transaxial: 55-70 cm
- Number of detectors: 20-30000
- Number of lines of response:  $10^8$
- Spatial resolution: 3-8 mm
- Sensitivity  $\approx 1\%$
- Image reconstruction: iterative





# PET

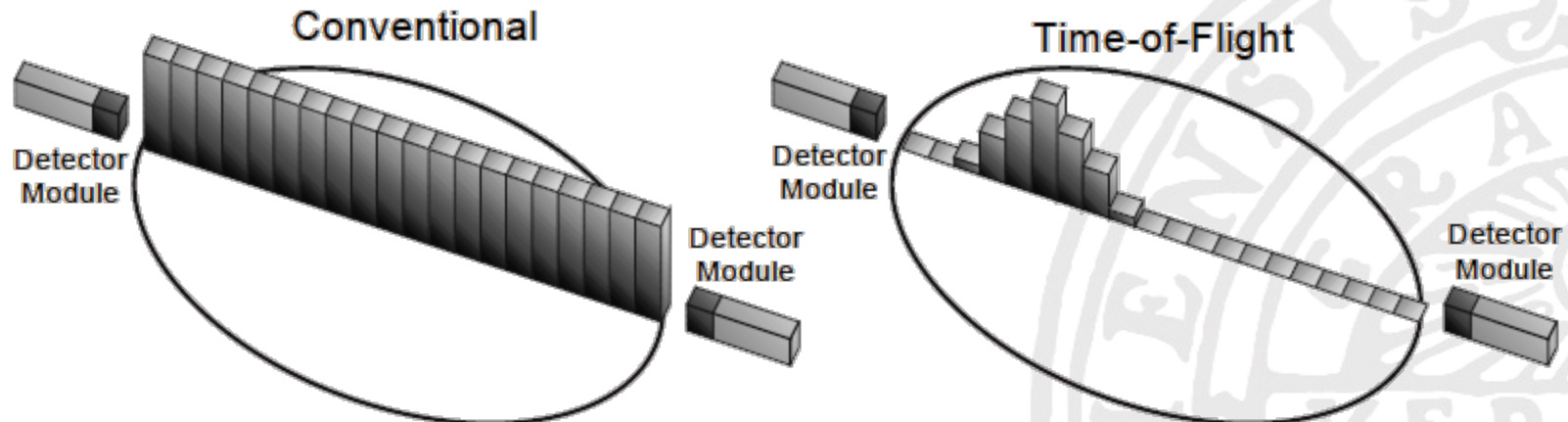


Tidsupplösning (beroende på kristal):  $> 1$  ns



# Time of flight (TOF)-PET

- Bättre signal-to-noise-ratio
- Ingen bättre spatiell upplösning!





# PET: tracer method

- George de Hevesy, Nobel prize 1943, “*for his work on the use of isotopes as tracers in the study of chemical processes*”
- Allan M Cormack and Godfrey Newbold Hounsfield, Nobel prize 1979, “*for the development of computer assisted tomography*”.
- A tracer method is a method that can measure a process *without disturbing it*



AKADEMISKA  
SJUKHUSET

# Tracer method

PET



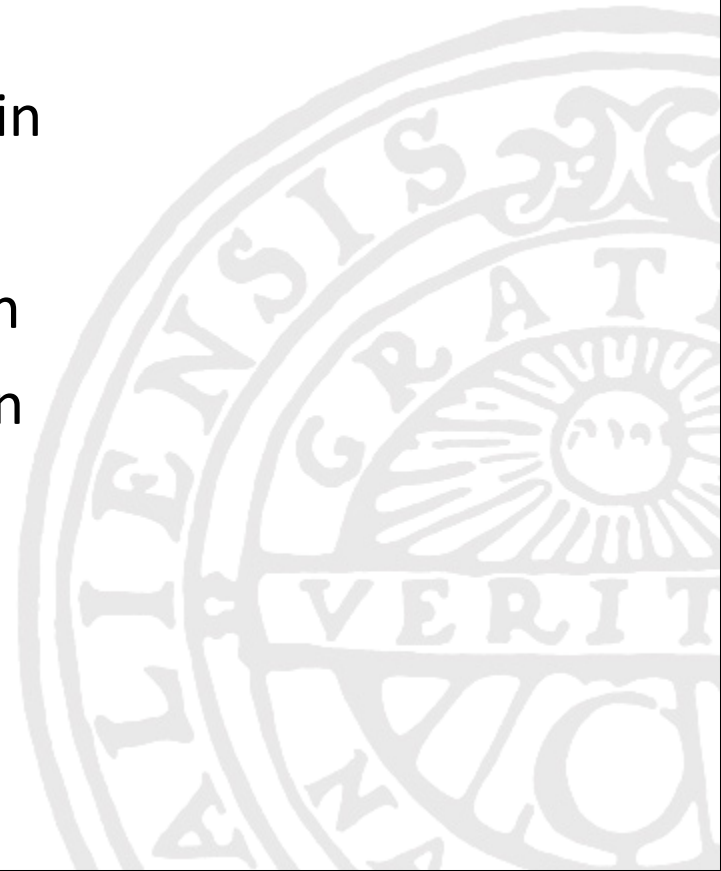
MRI





# Isotoper

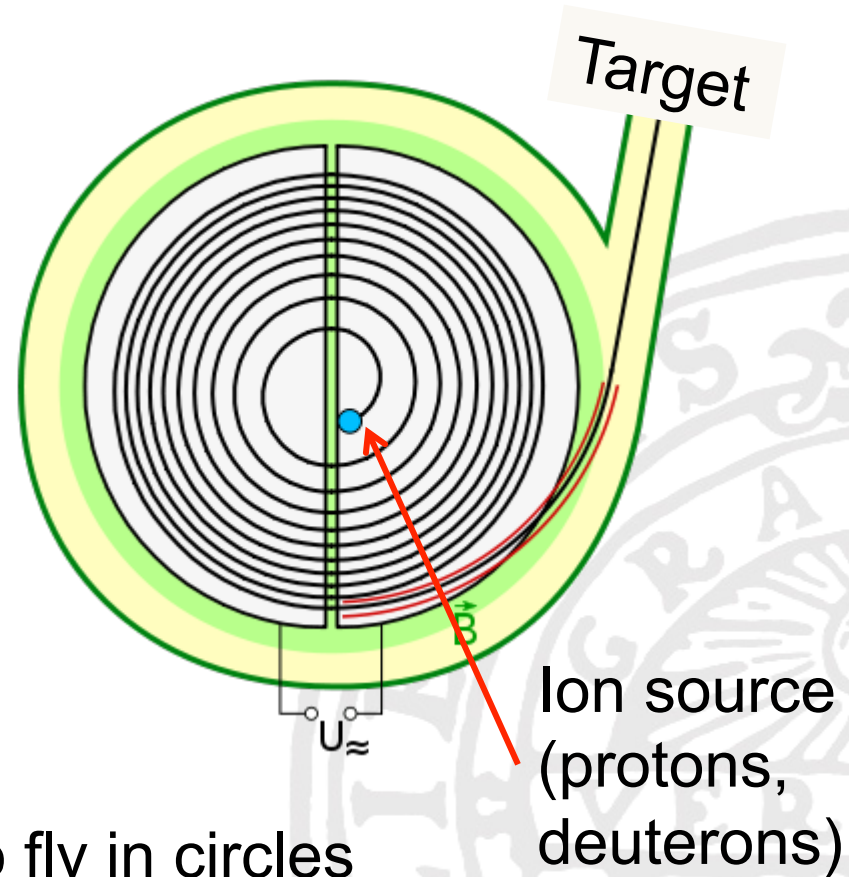
|                  |  |                       |
|------------------|--|-----------------------|
| $^{18}\text{F}$  | $^{18}\text{O}(\text{p},\text{n})^{18}\text{F}$    | 110 min halveringstid |
| $^{11}\text{C}$  | $^{11}\text{B}(\text{p},\text{n})^{11}\text{C}$    | 20 min                |
|                  | $^{14}\text{N}(\text{p},\alpha)^{11}\text{C}$      |                       |
| $^{15}\text{O}$  | $^{15}\text{N}(\text{p},\text{n})^{15}\text{O}$    | 2 min                 |
|                  | $^{14}\text{N}(\text{d},\text{n})^{15}\text{O}$    |                       |
| $^{82}\text{Rb}$ | $^{82}\text{Kr}$ generator                         | 1 min                 |
| $^{68}\text{Ga}$ | $^{68}\text{Ge}$ generator                         | 68 min                |
| $^{124}\text{I}$ | $^{124}\text{Te}(\text{p},\text{n})^{124}\text{I}$ | 4.2 d                 |
| $^{89}\text{Zr}$ | $^{89}\text{Y}(\text{p},\text{n})^{89}\text{Zr}$   | 3.2 d                 |





AKADEMISKA  
SJUKHUSET

# Cyclotron



- Magnetic field forces ions to fly in circles
- Acceleration due to a switching electric field



AKADEMISKA  
SJUKHUSET

# Radiokemi-laboratorium

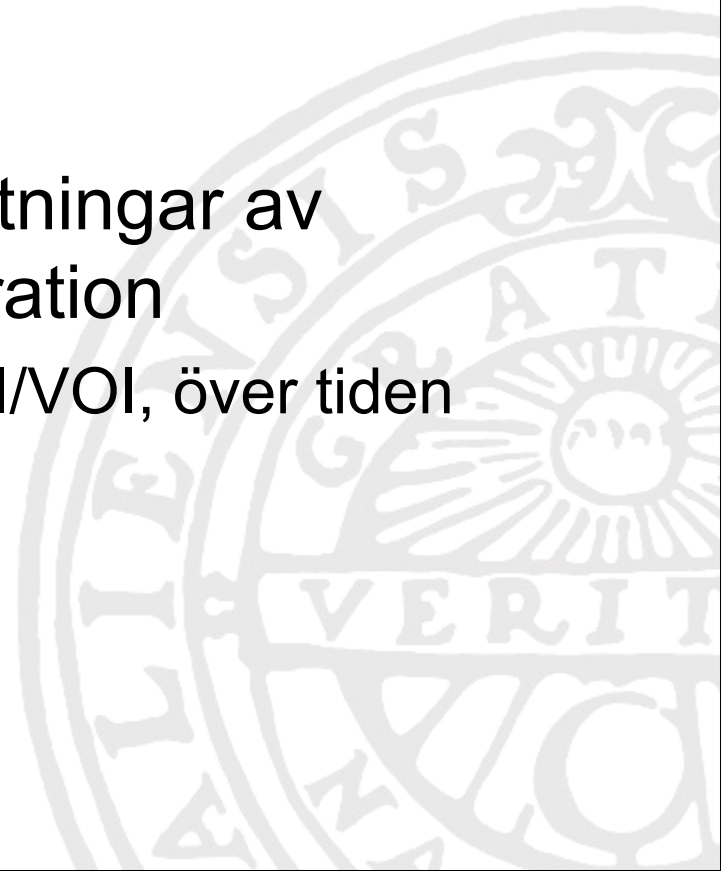




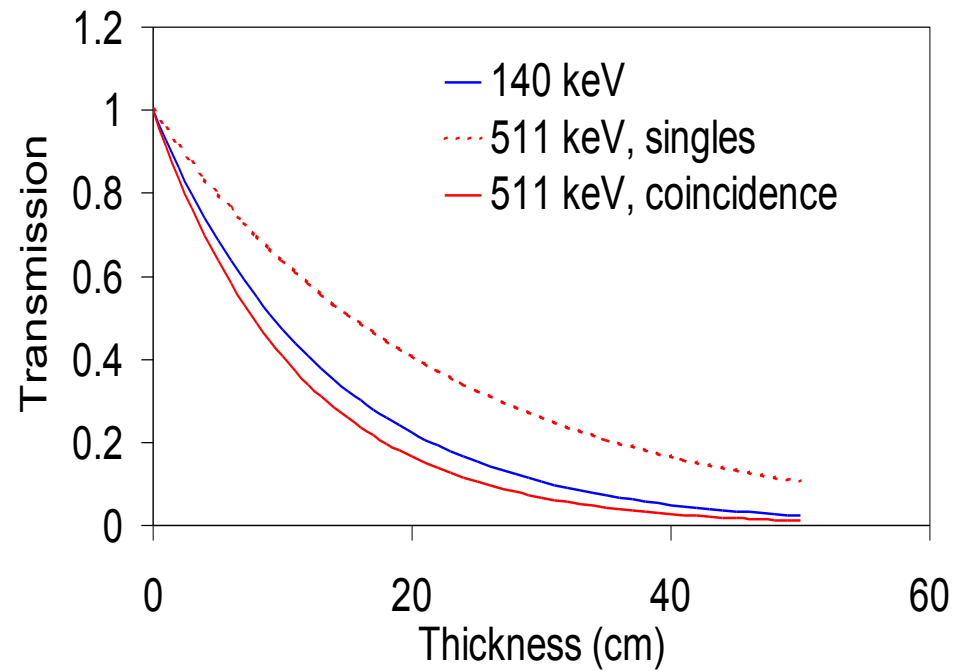
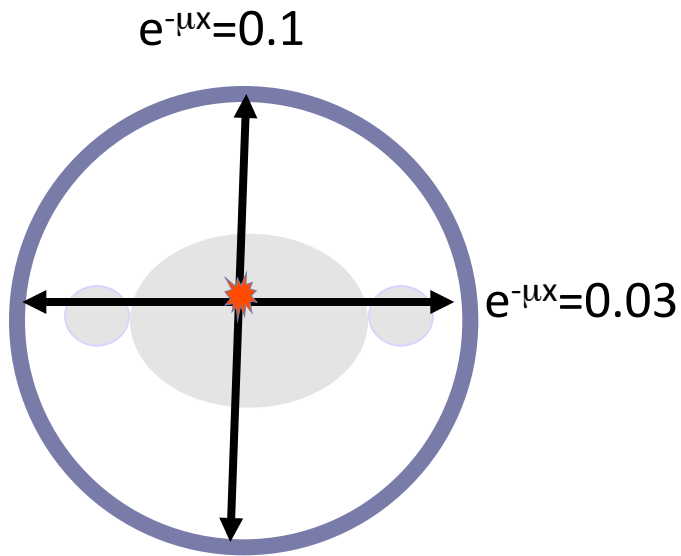


# PET

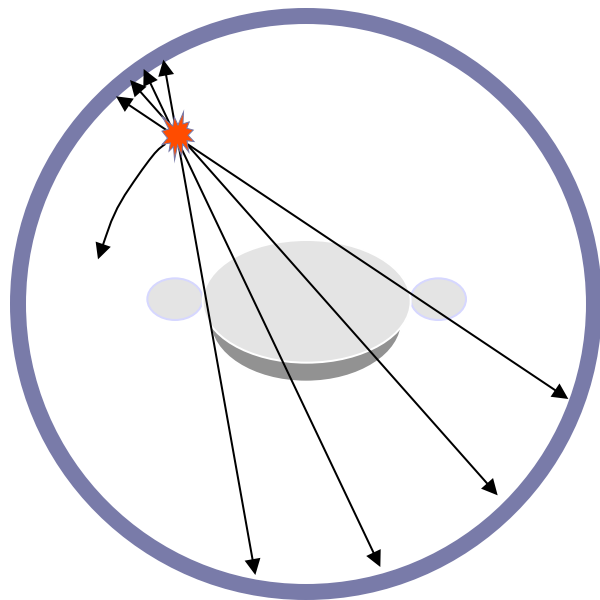
- PET mäter funktion, ingen anatomi!
- PET är kvantitativ, inte bara bilder!
- PET ger noggranna mätningar av radioaktivitetskoncentration
  - inom en voxel eller ROI/VOI, över tiden



# Attenuation

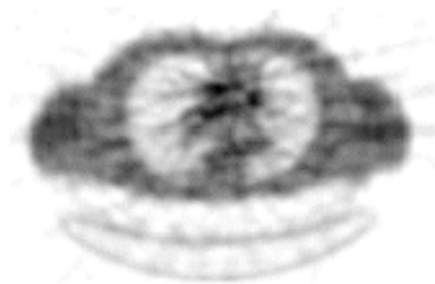


# Coincidence transmission scan



Rotating  $^{68}\text{Ge}$  rod source(s)

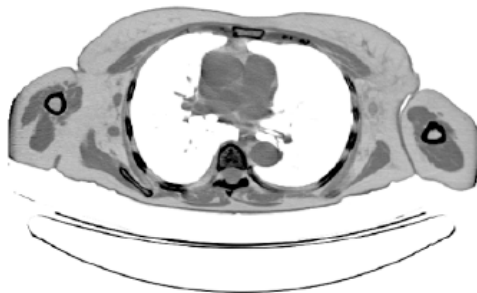
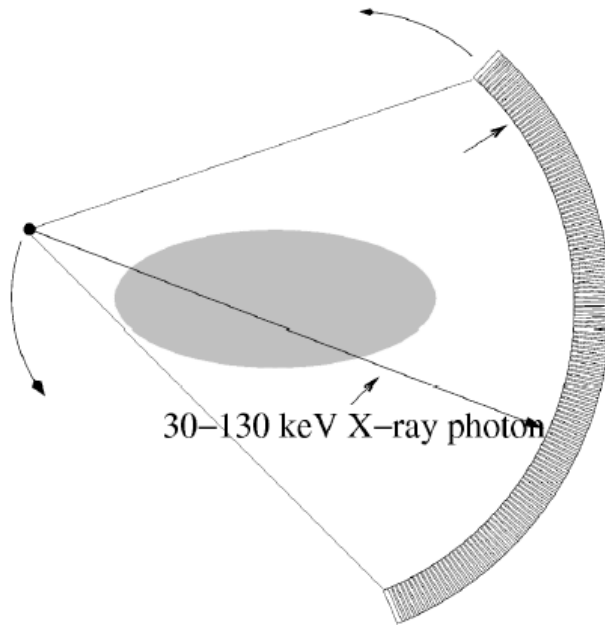
- Non-windowed: like emission scan
  - measures all coincidences
  - includes scatter!
- Windowed (or 'gated'): measures only detectors close to source
  - most scatter eliminated



Requires blank scan: transmission scan with empty FOV



# X-ray transmission



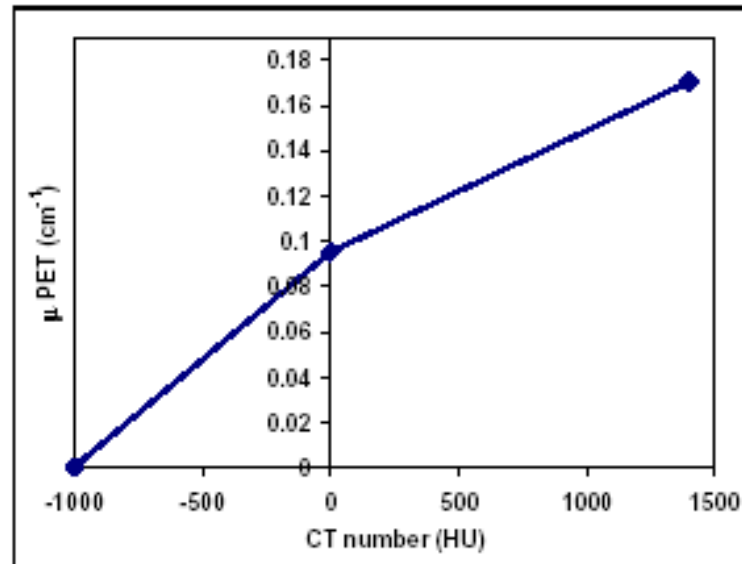
## CT attenuation correction

- + No transmission sources needed allows for larger FOV
- + Low-noise attenuation correction
- + No emission contamination
- + Fast
- ...

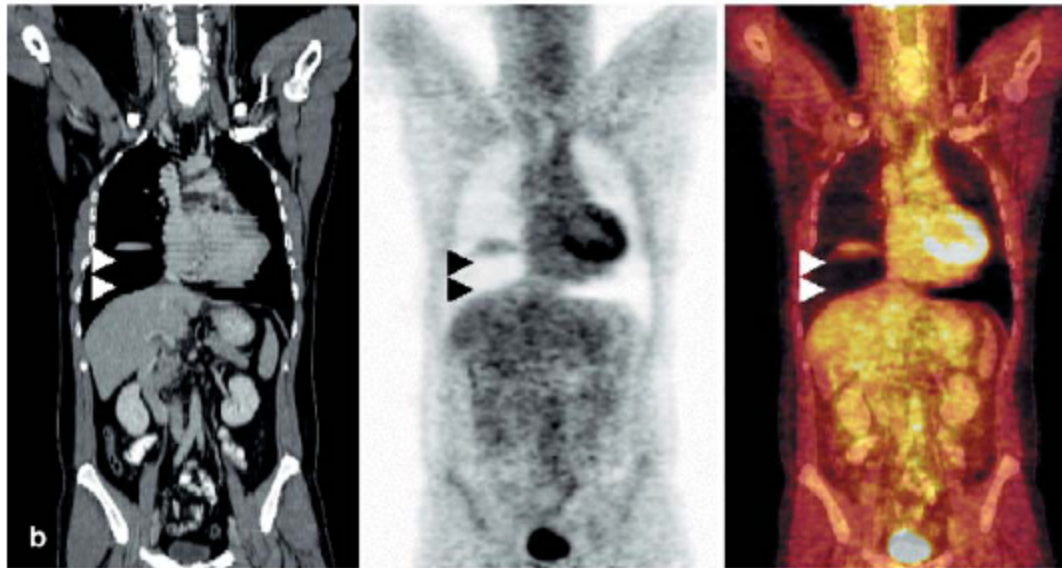


X-ray  $\rightarrow$  511 keV

Figure 6: Mapping CT number to PET attenuation coefficient



# Respiratory motion





AKADEMISKA  
SJUKHUSET

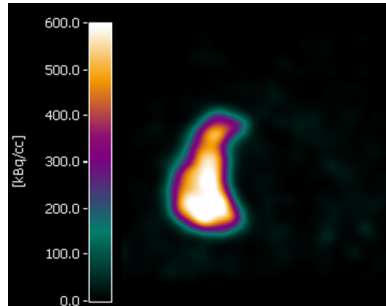
# PET provides



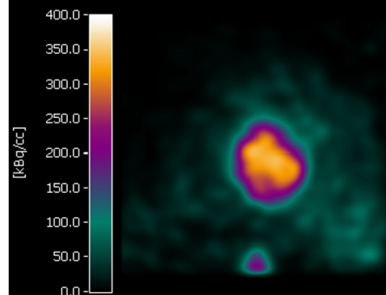
# Hjärtperfusion: $^{15}\text{O}$ -vatten ( $\text{H}_2^{15}\text{O}$ )

Uptake (kBq/ml)

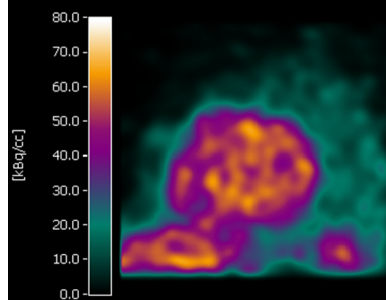
15 s p.i.



25 s p.i.



2 min p.i.







# PET

- PET mäter funktion, ingen anatomi!
- PET är kvantitativ, inte bara bilder!
- PET ger noggranna mätningar av radioaktivitetskoncentration
  - inom en voxel eller ROI/VOI, över tiden
- *Tracer-kinetic (farmakokinetiska) modeller*: kvantitativa mått på funktionen i vävnaden



# PET ger

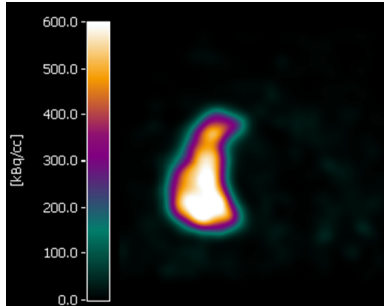
- Perfusion: ml blod / (min \* g vävnad)
- Glukoskonsumption:  $\mu\text{mol}$  glukos / (min \* g vävnad)
- Receptor-ligand bindning; koncentration och affinitet av receptor ( $B_{\text{max}}$ ,  $K_D$ )
- Syrgaskonsumption: ml  $\text{O}_2$  / (min \* g vävnad)
- Proliferation, proteinsyntes, etc, etc, ...



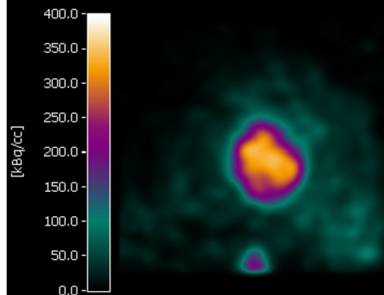
# Hjärtperfusion: $^{15}\text{O}$ -vatten

Uptake (kBq/ml)

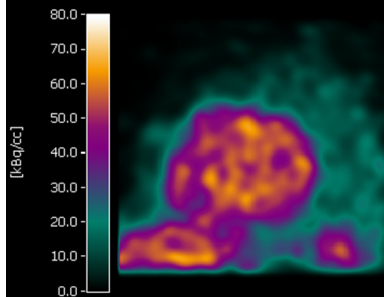
15 s p.i.



25 s p.i.



2 min p.i.



Blodflöde (ml/g/min)

→  
*Tracer  
kinetic  
model*

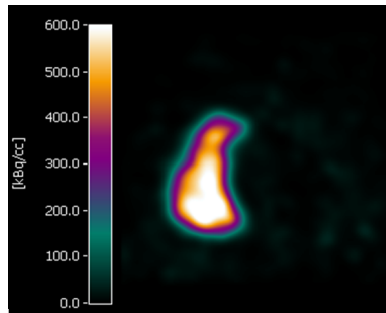




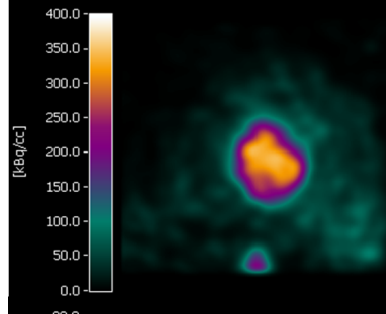
# Hjärtperfusion: $^{15}\text{O}$ -vatten

Uptake (kBq/ml)

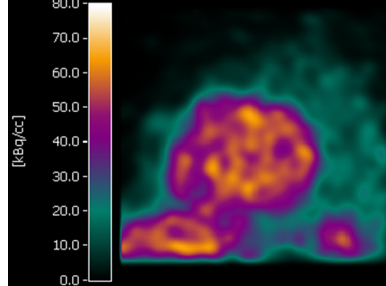
15 s p.i.



25 s p.i.

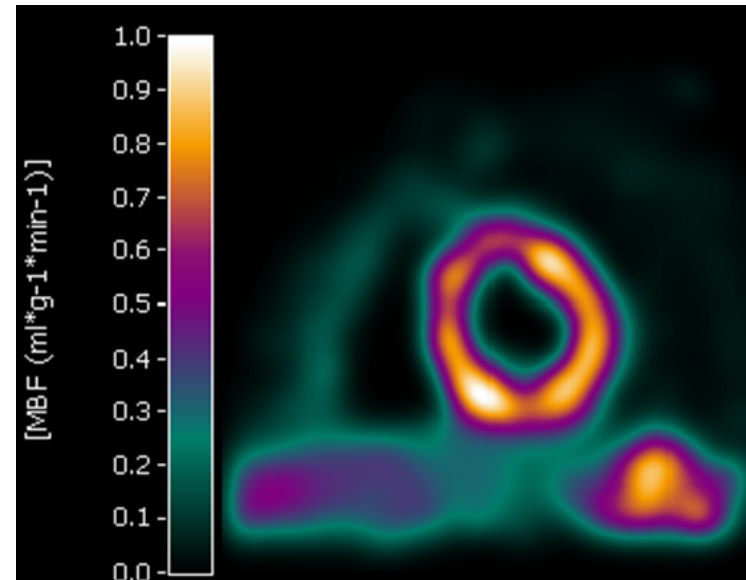


2 min p.i.

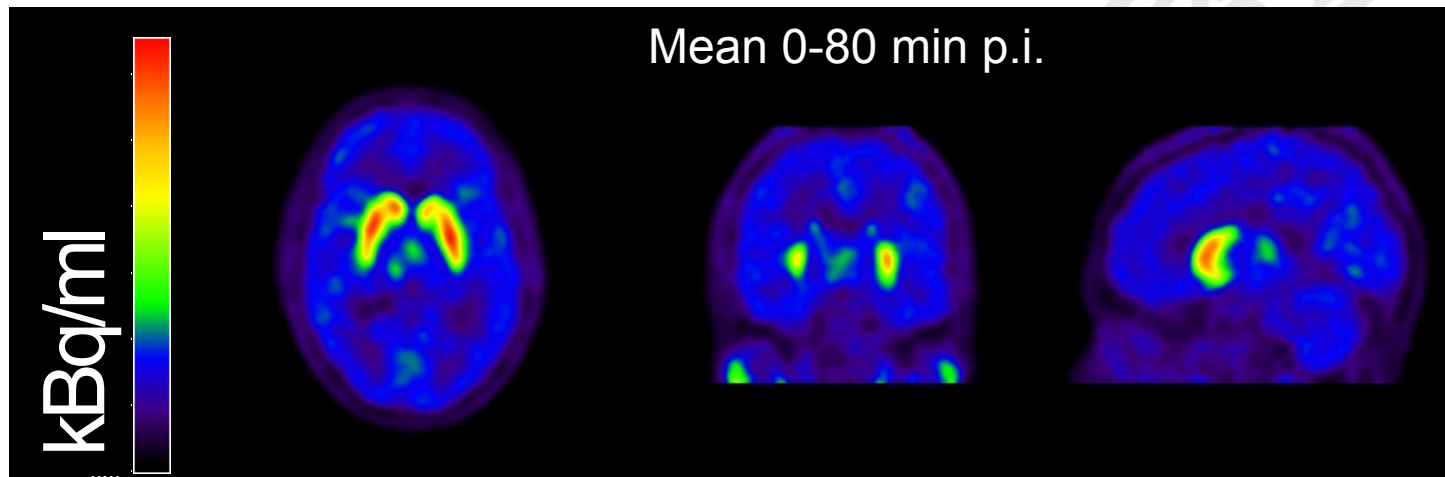
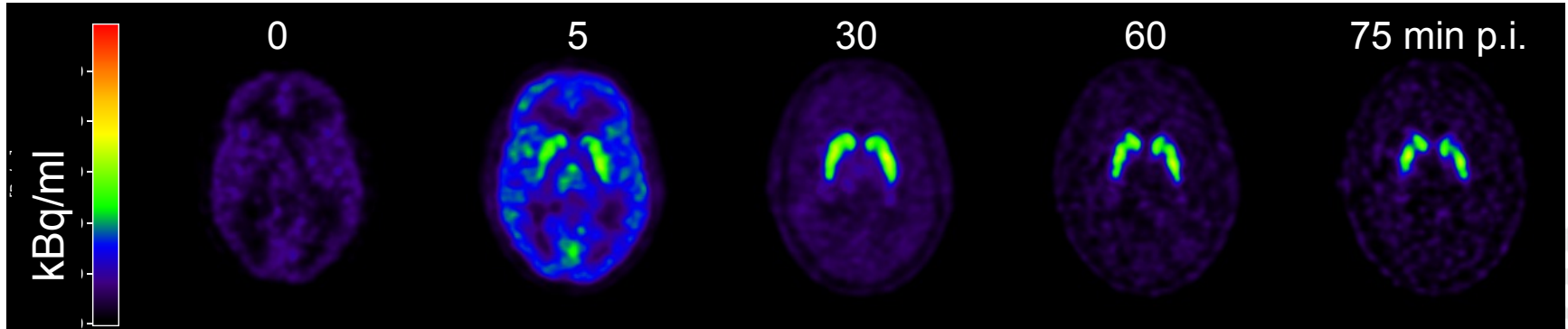


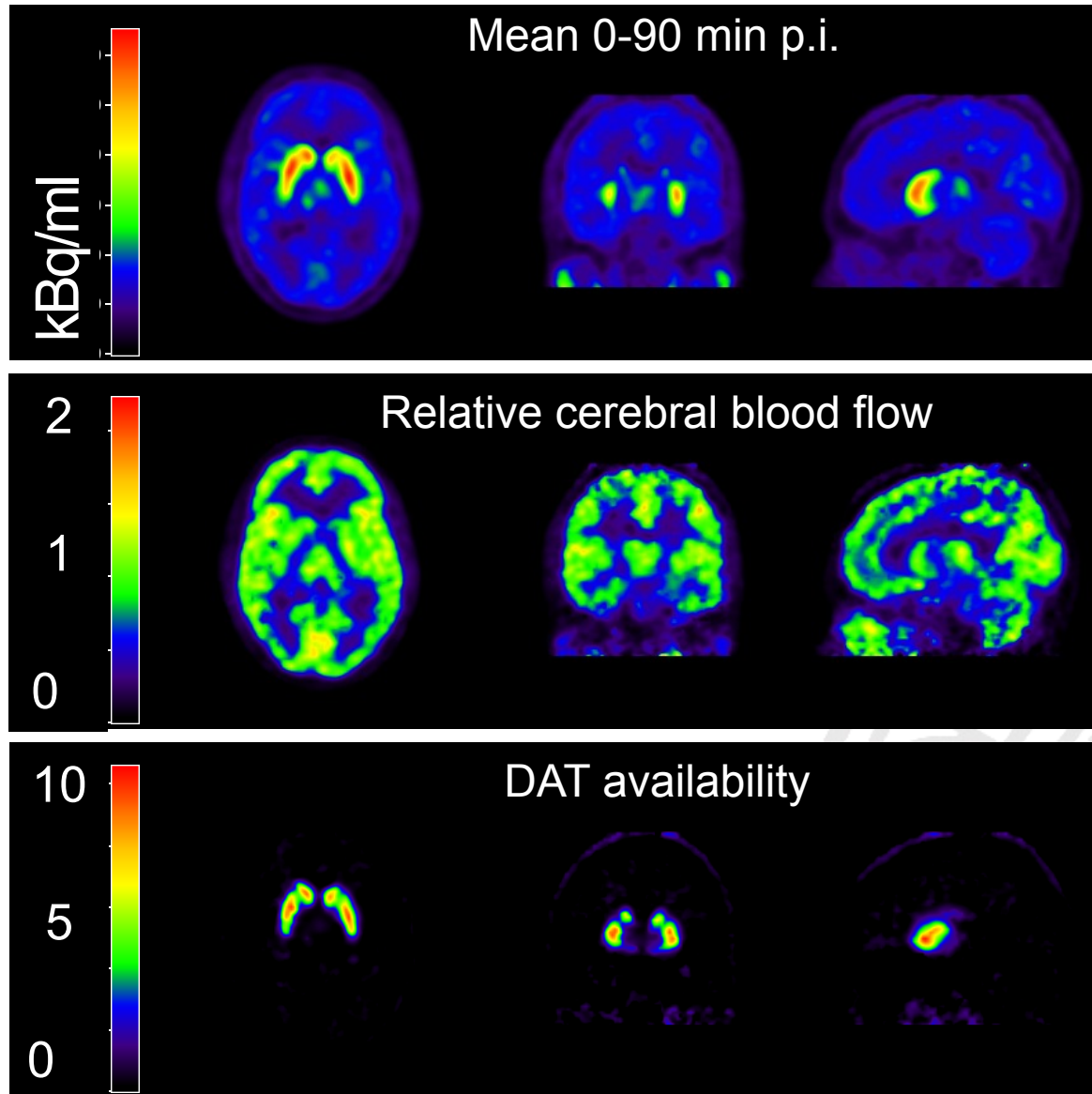
→  
*Tracer  
kinetic  
model*

Blodflöde (ml/g/min)



# DAT (dopamintransportör): [<sup>11</sup>C]PE2I





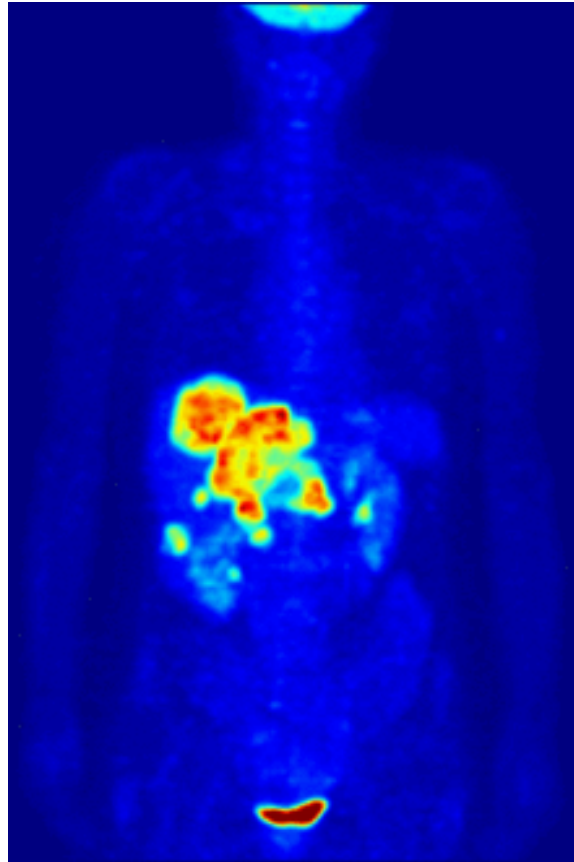
SRTM: Receptor parametric mapping (Gunn *et al*, 1997)



# Tracers

- |   |                       |           |
|---|-----------------------|-----------|
| • [18F]fluorodeoxyglucose (FDG)               | glucose consumption   | ~3-10 mSv |
| • [18F]fluorothymidine                        | proliferation         |           |
| • [18F]flutametamol                           | $\beta$ -amyloid      |           |
| • [18F]choline                                | prostate cancer       |           |
| • [18F]fluciclovine (FACBC)                   | prostate cancer       |           |
| • [11C]acetate                                | oxygen consumption    | ~1-3 mSv  |
| • [11C]methionine                             | protein synthesis     |           |
| • [11C]PIB                                    | $\beta$ -amyloid      |           |
| • [11C]choline                                | prostate cancer       |           |
| • [11C]PE2I, [11C]FP $\beta$ -CIT             | dopamine transporter  |           |
| • [15O]water                                  | blood flow            | < 1 mSv   |
| • <sup>82</sup> Rb, [ <sup>13</sup> N]ammonia | myocardial blood flow |           |
| • Etc, etc.                                   |                       |           |

# Whole-body cancer imaging with [<sup>18</sup>F]fluorodeoxy-glucose



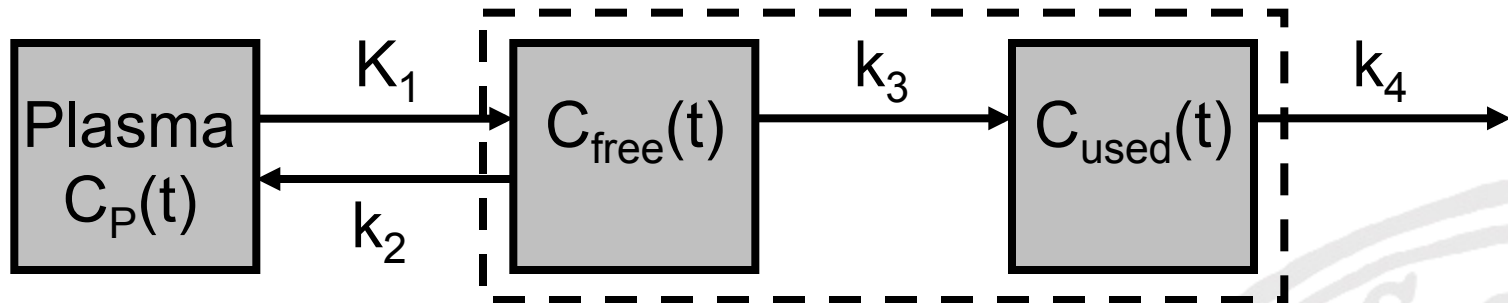
Uptake (kBq/ml)







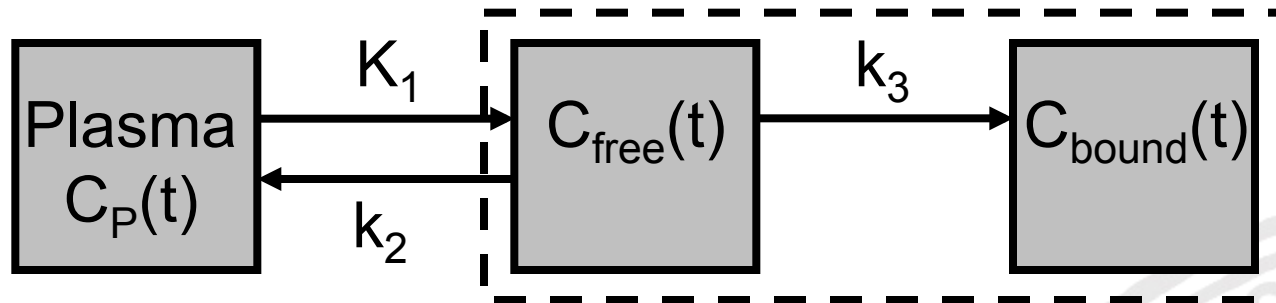
# Glukosmetabolism



$$\frac{dC_{\text{free}}(t)}{dt} = K_1 C_P(t) - (k_2 + k_3) C_{\text{free}}(t)$$

$$\frac{dC_{\text{bound}}(t)}{dt} = k_3 C_{\text{free}}(t) - k_4 C_{\text{used}}(t)$$

# 2-Deoxyglucose metabolism (FDG; Sokolov)

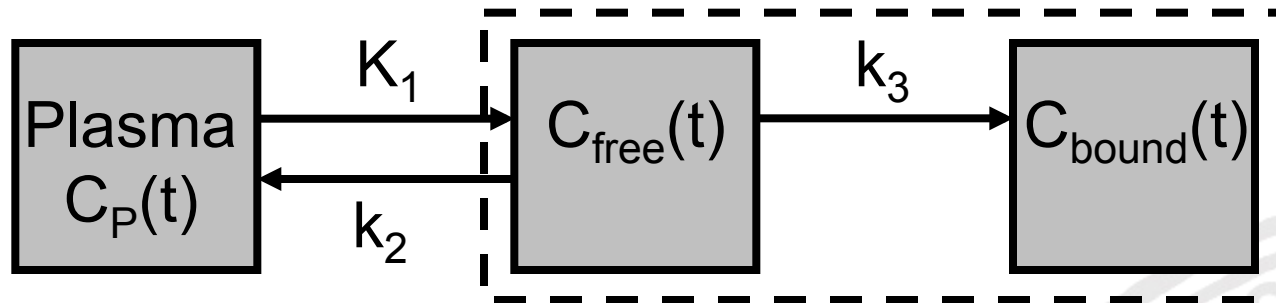


$$\frac{dC_{\text{free}}(t)}{dt} = K_1 C_P(t) - (k_2 + k_3) C_{\text{free}}(t)$$

$$\frac{dC_{\text{bound}}(t)}{dt} = k_3 C_{\text{free}}(t)$$



## 2-deoxyglukos (FDG; Sokolov)



$$\frac{dC_{\text{free}}(t)}{dt} = K_1 C_P(t) - (k_2 + k_3) C_{\text{free}}(t)$$

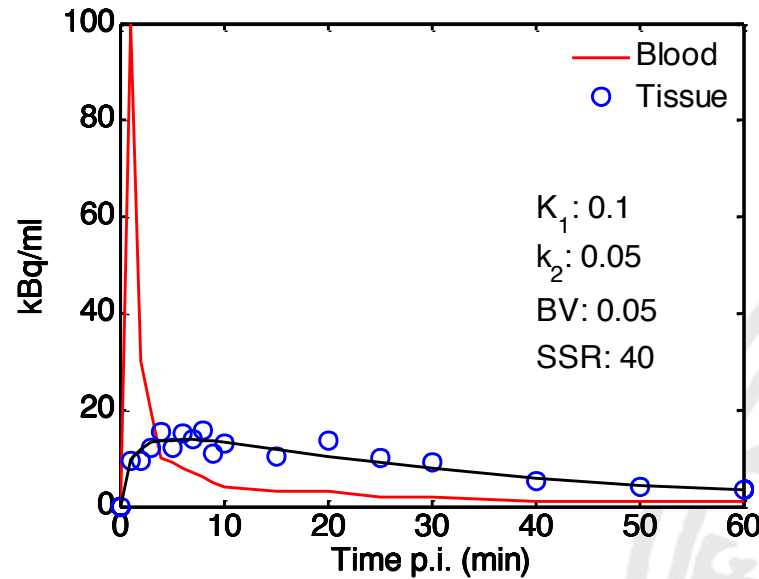
$$\frac{dC_{\text{bound}}(t)}{dt} = k_3 C_{\text{free}}(t)$$

-  $K_i$ : net uptake rate,  $\text{ml cm}^{-3} \text{min}^{-1}$  
$$K_i = \frac{K_1 k_3}{k_2 + k_3}$$

-  $\text{MR}_{\text{glu}}$ : glucose consumption,  $\text{mol cm}^{-3} \text{min}^{-1}$  
$$\text{MR}_{\text{glu}} = \frac{C_{\text{pl}}^{\text{glu}} \cdot K_i}{\text{LC}}$$



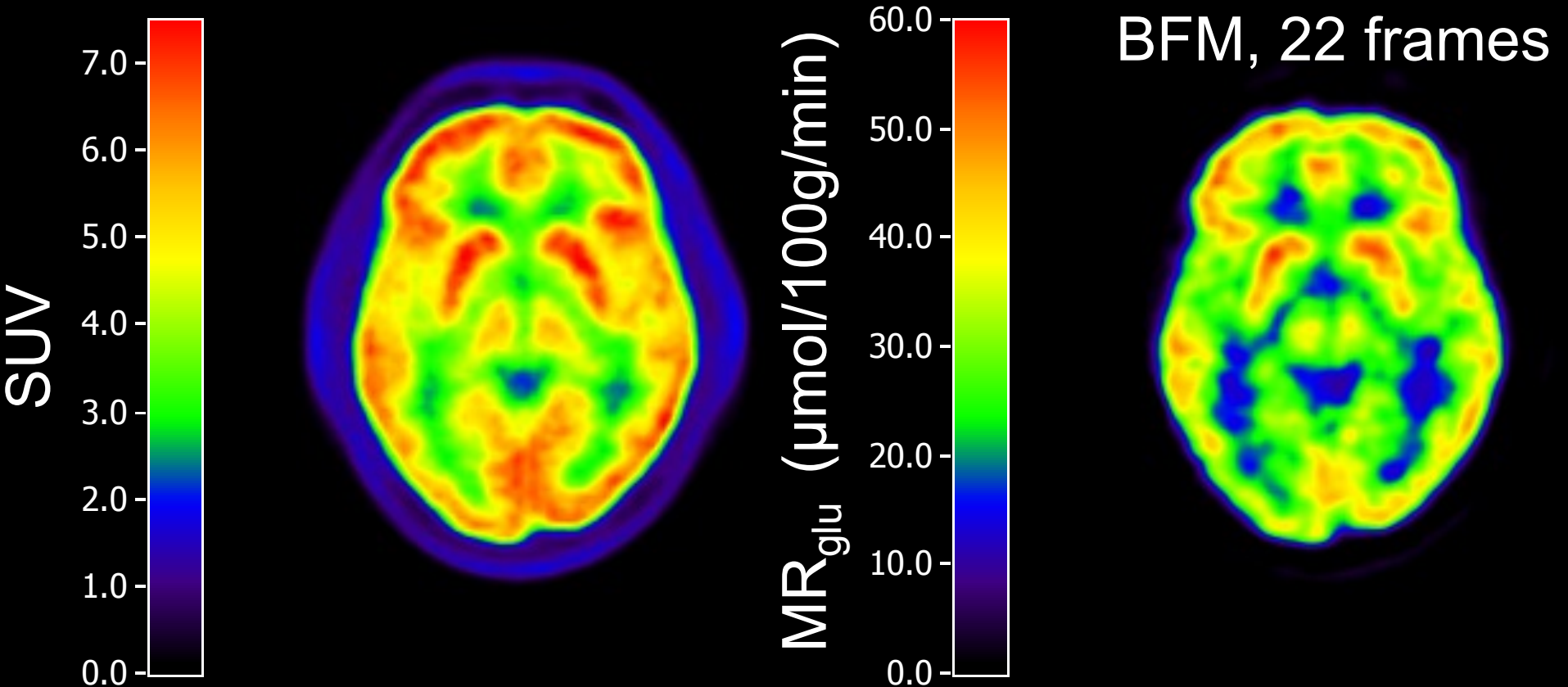
# Compartment model fit



$$C_{\text{PET}}(t) = (1 - V_B) \cdot K_1 C_P(t) \otimes e^{-k_2 t} + V_B C_B(t)$$



# Cerebral glucose metabolism





# SUV

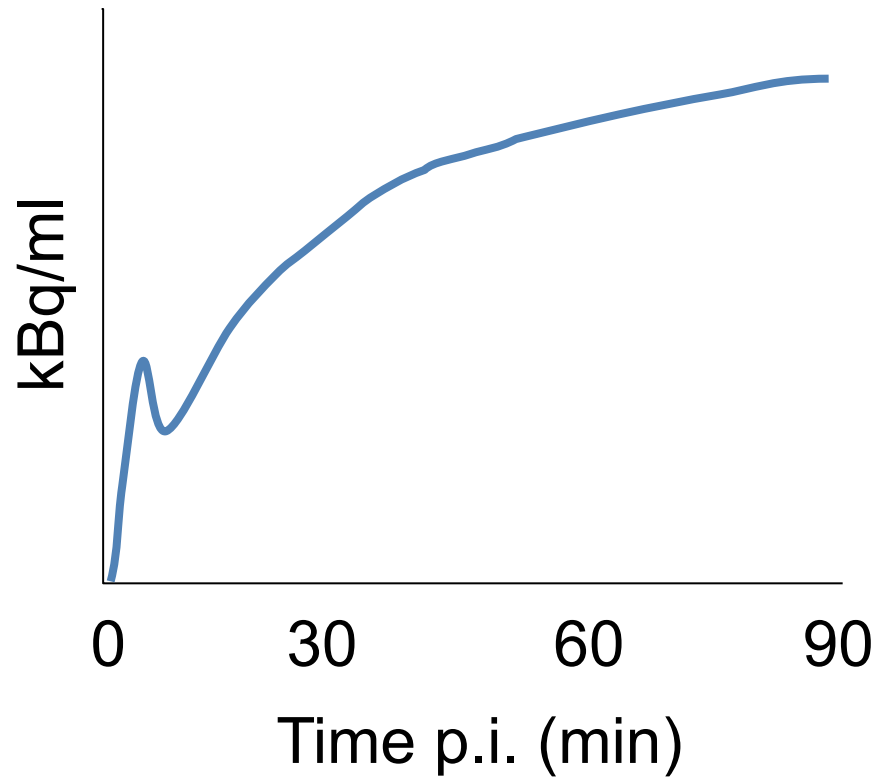
- För mätning av FDG kinetik och beräkning av  $MR_{glu}$  krävs
  - >45 min dynamisk mätning
  - Mätning av radioaktivitet i blodprover
- Bara för en (1) bäddposition
- SUV: Standardized Uptake Value

$$SUV = \frac{\text{ kBq / ml } [g / ml]}{\text{ MBq injected per kg body weight}}$$



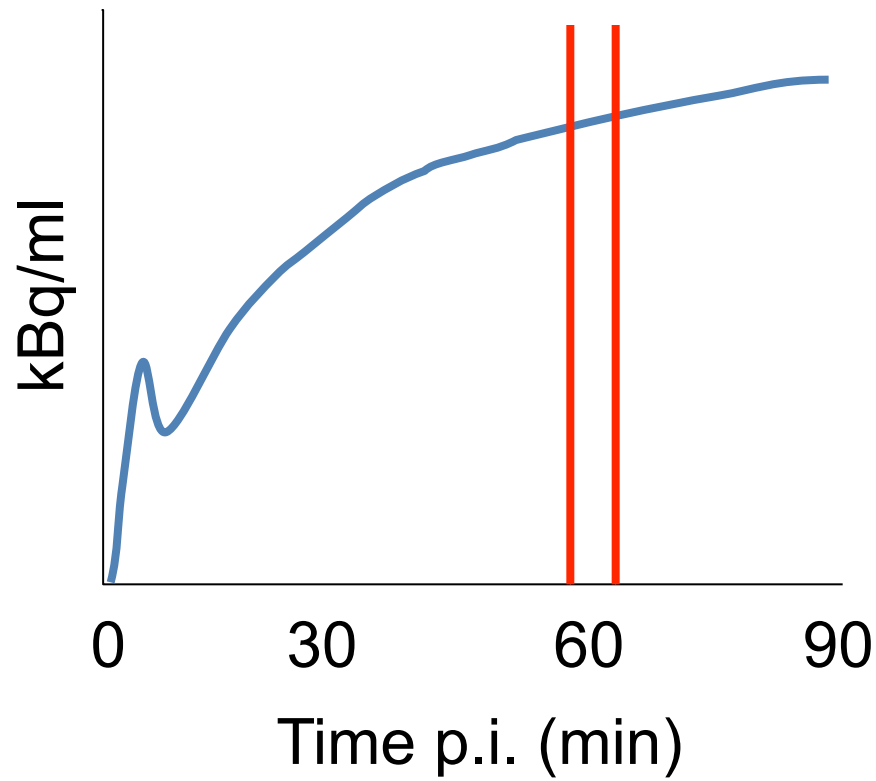
AKADEMISKA  
SJUKHUSET

# FDG - SUV





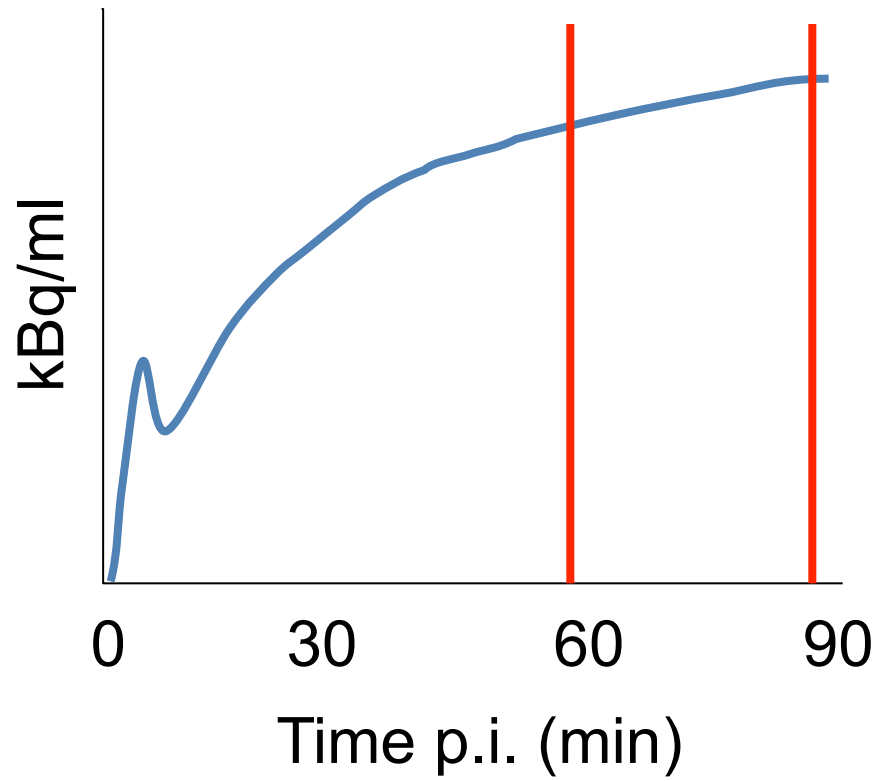
# FDG - SUV







# FDG - SUV





# SUV vs glukoskonsumption

FDG

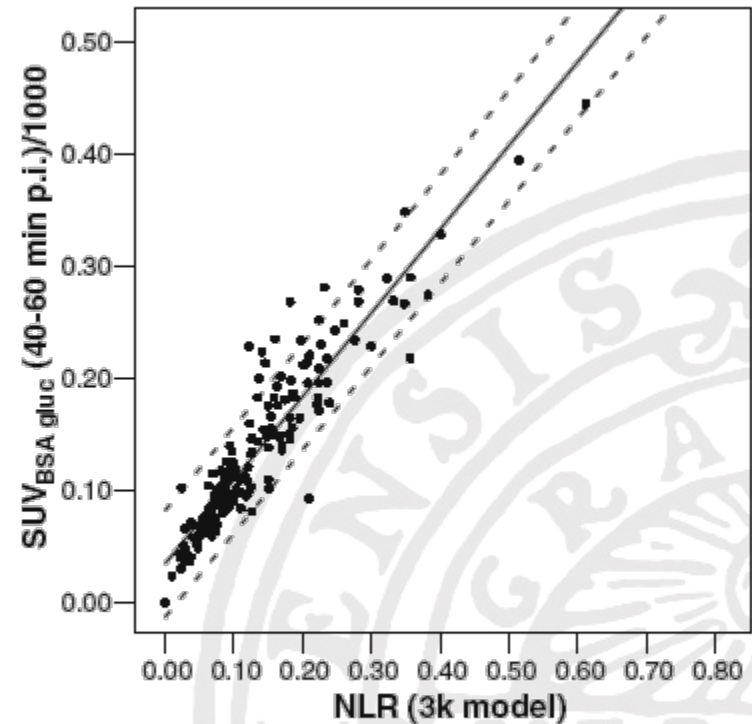
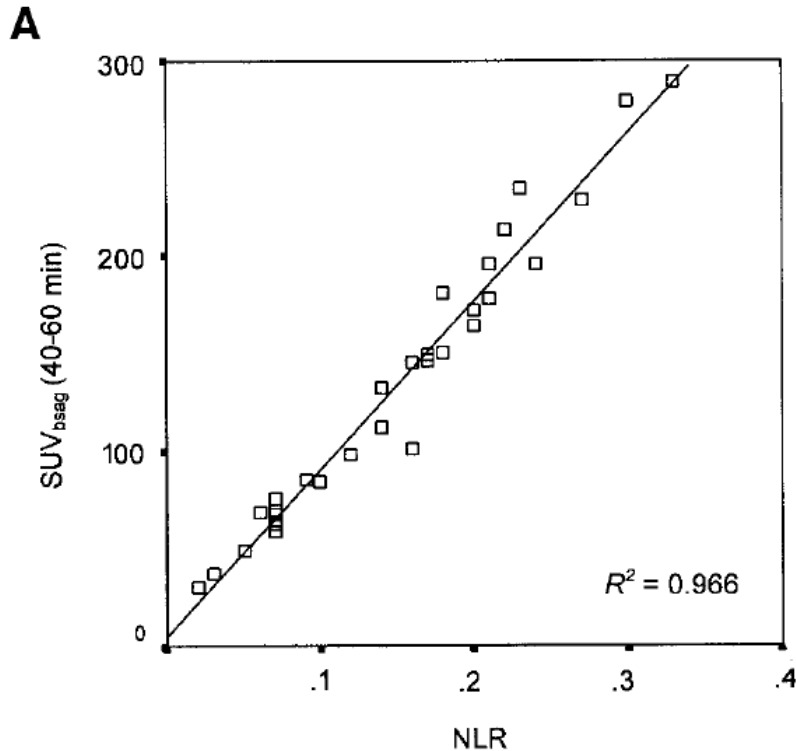


Fig. 1. Regression of SUV<sub>BSA,glu</sub> (corrected for plasma glucose) versus NLR for a database of 170 scans



# SUV

- Praktiskt: en enda mätning
- Går att använda med helkroppsscans
- Fungerar bara bra med
  - standardiserade protokoll
  - noggrann kalibrering av kameran
  - noggrann bestämning av patientens vikt
- Inte säkert att SUV fungerar för andra tracers!

*Mer om SUV i morgon, 10:45, sal B*



AKADEMISKA  
SJUKHUSET

